

32 位 MCU  
FS026x7L

# 数 据 手 册

- 产品简介
- 数据手册
- 参考手册

2024-11-8

# FS026x7L 高效能 32 位通用型MCU

## 功能

- **内核**
  - ARM® 32-bit Cortex®-M0 MCU
  - 频率最高72MHz
  - 系统效能评分43.4 DMIPS @72MHz (Dhrystone 2.1)
- **存储单元**
  - 128K bytes Flash
  - 16K bytes SRAM
  - 16 bytes备用寄存器
- **重置与电源管理**
  - 数字与I/O电源 :  $V_{DDH}=1.8 \sim 5.5V$
  - 模拟电源 :  $V_{DDA}=2.4 \sim 5.5V$
  - POR/PDR/BOR
  - 低电压侦测(LVD)
  - 低功耗模式 : SLEEP、STOP、STANDBY0、STANDBY1与SHUTDOWN
- **时钟源管理**
  - 4-32MHz 晶振
  - 32.768 kHz 振荡器, 用于带校准的RTC
  - 内部4MHz RC振荡器
  - 内部48MHz RC振荡器, 支持自动校准
  - 内部32KHz RC振荡器
  - PLL锁项回路电路, 最高倍频至72MHz, 支持分数频设定, 支持I2S音频使用 (22.579/24.676 MHz)
- **最多54个I/O**
  - 支持外部中断事件
  - 8个IO, 支持低功耗外部唤醒事件
- **6个通道DMA控制器**
- **安全及运算加速单元**
  - 1组CRC, 8/16/32位检查码, 支持可配置生成多项式
  - 1组AES, 128位加密解密
  - 1组CALC, 32位平方根与除法加速运算
- **13组定时器**
  - 1组16位, 4个输入捕获与输出比较、3对PWM 可编程死区时间的互补输出
- 1组32位与3组16位, 4个输入捕获与输出比较
- 4组16位, 2个输入捕获与输出比较、1对PWM 可编程死区时间的互补输出
- 1组16位基本定时器
- 2组看门狗定时器(IWDT与WWDT)
- 1组24位系统节拍递减计数定时器
- **RTC万年历**
  - 年/月/日/时/分/秒/星期
  - 闹钟功能
  - 低功耗模式, 固定周期唤醒
- **通信接口**
  - 2组I2C, 多主机模式、SMBus
  - 3组SPI, 其中1组支持I2S全双工
  - 4组UART, 自动波特率检测, 调制解调器、RS-485、ISO7816与IrDA
  - 全速USB 2.0, 7个ENDPOINT, 自带2K bytes缓存
- **模拟控制单元**
  - 1组12位ADC, 1MSPS, 最多16个外部通道
  - 2组CMP, 模拟比较器
- **键盘控制单元**
  - 7X24组输入扫描数组
  - 256色RGB PMW灯效控制
  - 32阶亮度调整
- **系统SWD协议调试接口**
- **128位芯片唯一标识符**
- **封装型态**
  - LQFP48(7x7 mm)
  - LQFP64(7x7 mm)
  - LQFP64(10x10 mm)
  - QFN48(5x5 mm)

| 产品系列代码   | 产品代码     |
|----------|----------|
|          | FS026C7L |
| FS026x7L | FS026S7L |
|          | FS026R7L |
|          | FS026C7N |

## 目录

|                                                   |           |
|---------------------------------------------------|-----------|
| <b>FS026x7L 高效能 32 位通用型 MCU .....</b>             | <b>2</b>  |
| <b>第 1 章 简介 .....</b>                             | <b>9</b>  |
| <b>第 2 章 概述 .....</b>                             | <b>10</b> |
| 2. 1 器件资源 .....                                   | 11        |
| 2. 2 器件资源概述 .....                                 | 14        |
| 2. 2. 1 MCU 内核 .....                              | 14        |
| 2. 2. 1. 1 ARM Cortex-M0 内核 .....                 | 14        |
| 2. 2. 1. 2 NVIC .....                             | 14        |
| 2. 2. 1. 3 系统节拍定时器 .....                          | 14        |
| 2. 2. 2 存储器 .....                                 | 15        |
| 2. 2. 2. 1 静态随机存取存储器 (SRAM) .....                 | 15        |
| 2. 2. 2. 2 闪存 (FLASH) .....                       | 15        |
| 2. 2. 2. 3 闪存操作解锁 .....                           | 15        |
| 2. 2. 2. 4 存储器保护区 .....                           | 15        |
| 2. 2. 2. 5 启动方式 .....                             | 15        |
| 2. 2. 3 系统管理 .....                                | 16        |
| 2. 2. 3. 1 电源 .....                               | 16        |
| 2. 2. 3. 2 电源监视 .....                             | 16        |
| 2. 2. 3. 3 稳压器 .....                              | 16        |
| 2. 2. 3. 4 低功耗模式 .....                            | 16        |
| 2. 2. 3. 5 时钟管理 .....                             | 16        |
| 2. 2. 3. 6 直接存储访问 (DMA) .....                     | 17        |
| 2. 2. 3. 7 外设互联(PIS) .....                        | 17        |
| 2. 2. 3. 8 看门狗定时器 .....                           | 17        |
| 2. 2. 4 外部接口 .....                                | 18        |
| 2. 2. 4. 1 通用 IO(GPIO) .....                      | 18        |
| 2. 2. 4. 2 外部中断/事件控制器(EXTI) .....                 | 18        |
| 2. 2. 5 安全管理及运算加速 .....                           | 18        |
| 2. 2. 5. 1 循环冗余校验(CRC) .....                      | 18        |
| 2. 2. 5. 2 高级加密标准(AES) .....                      | 18        |
| 2. 2. 5. 3 运算加速器(CALC) .....                      | 18        |
| 2. 2. 6 定时器 .....                                 | 19        |
| 2. 2. 6. 1 高级控制定时器(AD16C4T1) .....                | 19        |
| 2. 2. 6. 2 通用定时器 32 位 4 通道(GP32C4T1) .....        | 20        |
| 2. 2. 6. 3 通用定时器 16 位 4 通道(GP16C4Tn, n=1~3) ..... | 20        |
| 2. 2. 6. 4 通用定时器 16 位 2 通道(GP16C2Tn, n=1~4) ..... | 20        |
| 2. 2. 6. 5 基本定时器 (BS16T1) .....                   | 21        |
| 2. 2. 6. 6 实时时钟(RTC) .....                        | 21        |
| 2. 2. 7 键盘控制单元 (KBCU) .....                       | 21        |
| 2. 2. 8 通信 .....                                  | 22        |
| 2. 2. 8. 1 通用异步收发器 (UART) .....                   | 22        |
| 2. 2. 8. 2 内部集成电路总线 (I2C) .....                   | 22        |

|                                             |           |
|---------------------------------------------|-----------|
| 2.2.8.3 串行外设接口 (SPI) /集成电路内置音频总线 (I2S)..... | 22        |
| 2.2.8.4 时钟同步单元 (CSU) .....                  | 23        |
| 2.2.8.5 通用串行总线 (USB).....                   | 23        |
| 2.2.9 模拟.....                               | 24        |
| 2.2.9.1 内部电阻分压电源 (VRES).....                | 24        |
| 2.2.9.2 模拟/数字转换器 (ADC).....                 | 24        |
| 2.2.9.3 模拟比较器 (CMP).....                    | 24        |
| <b>第3章 引脚说明 .....</b>                       | <b>25</b> |
| 3.1 引脚图.....                                | 25        |
| 3.1.1 LQFP64 (7x7mm) 引脚图 .....              | 25        |
| 3.1.2 LQFP64 (10x10mm) 引脚图 .....            | 26        |
| 3.1.3 LQFP48 (7x7mm) 引脚图 .....              | 27        |
| 3.1.4 QFN48(5x5mm) 引脚图 .....                | 28        |
| 3.2 引脚定义 .....                              | 29        |
| 3.3 引脚定义说明 .....                            | 35        |
| 3.4 引脚复用功能.....                             | 37        |
| <b>第4章 存储器映射图.....</b>                      | <b>41</b> |
| <b>第5章 电气特性 .....</b>                       | <b>42</b> |
| 5.1 参数条件 .....                              | 42        |
| 5.1.1 最小值、最大值和典型值.....                      | 42        |
| 5.1.2 芯片电源 .....                            | 42        |
| 5.1.3 电流测量 .....                            | 43        |
| 5.2 绝对最大额定值 .....                           | 44        |
| 5.2.1 电压额定参数 .....                          | 44        |
| 5.2.2 电流额定参数 .....                          | 44        |
| 5.2.3 热参数 .....                             | 44        |
| 5.3 工作条件 .....                              | 45        |
| 5.3.1 通用工作条件 .....                          | 45        |
| 5.3.2 上电及掉电特性参数 .....                       | 45        |
| 5.3.3 复位及电源检测模块特性参数 .....                   | 45        |
| 5.3.4 电流特性 .....                            | 47        |
| 5.3.4.1 正常模式电流特性参数 .....                    | 47        |
| 5.3.4.2 低功耗模式电流特性参数 .....                   | 49        |
| 5.3.5 低功耗模式转换特性参数 .....                     | 50        |
| 5.3.6 外部时钟源特性参数 .....                       | 51        |
| 5.3.7 内部时钟源特性参数 .....                       | 54        |
| 5.3.8 小数分频锁相环 PLL 特性参数 .....                | 55        |
| 5.3.9 FLASH 存储器特性参数 .....                   | 55        |
| 5.3.10 EMC 电磁兼容性 .....                      | 56        |
| 5.3.10.1 EMS 电磁耐受性 .....                    | 56        |
| 5.3.11 静电防护能力测试 .....                       | 56        |
| 5.3.11.1 静电放电(ESD) .....                    | 56        |
| 5.3.11.2 静态闩锁(LatchUp) .....                | 56        |
| 5.3.12 IO 端口特性参数 .....                      | 57        |

---

|                                       |           |
|---------------------------------------|-----------|
| 5. 3. 12. 1 I/O 输出电流 (驱动模式 DS=0)..... | 59        |
| 5. 3. 12. 2 I/O 输出电流 (驱动模式 DS=1)..... | 60        |
| 5. 3. 13 NRST 特性参数.....               | 61        |
| 5. 3. 14 定时器特性参数 .....                | 61        |
| 5. 3. 15 通信特性参数 .....                 | 62        |
| 5. 3. 15. 1 内部集成电路总线 I2C 特性参数.....    | 62        |
| 5. 3. 15. 2 串行外设接口 SPI 特性参数 .....     | 63        |
| 5. 3. 15. 3 USB FS 全速特性参数 .....       | 65        |
| 5. 3. 16 模数转换器 ADC 特性参数.....          | 66        |
| 5. 3. 17 模拟比较器 CMP 特性参数 .....         | 67        |
| 5. 3. 18 温度传感器特性参数 .....              | 67        |
| 5. 3. 19 内部电压源特性参数 .....              | 68        |
| <b>第 6 章 封装信息 .....</b>               | <b>69</b> |
| 6. 1 LQFP48 (7x7mm) 封装尺寸图.....        | 69        |
| 6. 2 LQFP64 (7x7mm) 封装尺寸图.....        | 70        |
| 6. 3 LQFP64 (10x10mm) 封装尺寸图.....      | 71        |
| 6. 4 QFN48 (5x5mm) 封装尺寸图.....         | 72        |

## 图目录

|                                                                 |    |
|-----------------------------------------------------------------|----|
| 图 2-1 FS026x7L 系统结构图 .....                                      | 12 |
| 图 2-2 系统时钟树 .....                                               | 13 |
| 图 3-1 FS026S7L 64-Pin (7x7mm) LQFP 引脚图 .....                    | 25 |
| 图 3-2 FS026R7L 64-Pin (10x10mm) LQFP 引脚图 .....                  | 26 |
| 图 3-3 FS026C7L 48-Pin (7x7mm) LQFP 引脚图 .....                    | 27 |
| 图 3-4 FS026C7N 48-Pin (5x5mm) QFN 引脚图 .....                     | 28 |
| 图 4-1 存储器映射 .....                                               | 41 |
| 图 5-1 芯片电源 .....                                                | 42 |
| 图 5-2 电流测量方式 .....                                              | 43 |
| 图 5-3 外部高速时钟晶振或陶瓷应用电路 .....                                     | 52 |
| 图 5-4 外部低速时钟晶振或陶瓷应用电路 .....                                     | 53 |
| 图 5-5 $I_{OL}, V_{OL}$ , @ $V_{DDH}=2.5V, 3.3V, 5V, DS=0$ ..... | 59 |
| 图 5-6 $I_{OH}, V_{OH}$ , @ $V_{DDH}=2.5V, 3.3V, 5V, DS=0$ ..... | 59 |
| 图 5-7 $I_{OL}, V_{OL}$ , @ $V_{DDH}=2.5V, 3.3V, 5V, DS=1$ ..... | 60 |
| 图 5-8 $I_{OH}, V_{OH}$ , @ $V_{DDH}=2.5V, 3.3V, 5V, DS=1$ ..... | 60 |
| 图 5-9 NRST 应用电路 .....                                           | 61 |
| 图 5-10 I <sub>C</sub> C 时序图 .....                               | 62 |
| 图 5-11 SPI 时序图-从模式和 CPHA = 0 .....                              | 64 |
| 图 5-12 SPI 时序图-从模式和 CPHA = 1 .....                              | 64 |
| 图 6-1 LQFP48(7x7mm)封装尺寸图 .....                                  | 69 |
| 图 6-2 LQFP64(7x7mm)封装尺寸图 .....                                  | 70 |
| 图 6-3 LQFP64(10x10mm)封装尺寸图 .....                                | 71 |
| 图 6-4 QFN 48(5x5mm)封装尺寸图 .....                                  | 72 |

## 表目录

|                                   |    |
|-----------------------------------|----|
| 表 2-2 定时器功能对照表 .....              | 19 |
| 表 2-3 UART1~4 具体功能配置 .....        | 22 |
| 表 2-4 SPI 特性 .....                | 23 |
| 表 3-1 引脚定义 .....                  | 34 |
| 表 3-2 引脚定义说明 .....                | 36 |
| 表 3-3 通用端口 PAxx 复用功能 .....        | 37 |
| 表 3-4 通用端口 PBxx 复用功能 .....        | 38 |
| 表 3-5 通用端口 PCxx 复用功能 .....        | 39 |
| 表 3-6 通用端口 PDxx 复用功能 .....        | 40 |
| 表 5-1 电压额定参数 .....                | 44 |
| 表 5-2 电流额定参数 .....                | 44 |
| 表 5-3 热参数 .....                   | 44 |
| 表 5-4 通用工作条件 .....                | 45 |
| 表 5-5 上电及掉电特性条件 .....             | 45 |
| 表 5-6 复位及电源检测模块特性参数 .....         | 46 |
| 表 5-7 正常模式电流消耗, 程序运行在 Flash ..... | 47 |
| 表 5-8 正常模式电流, 程序运行在 SRAM .....    | 48 |
| 表 5-9 SLEEP 模式电流 .....            | 49 |
| 表 5-10 STOP 模式电流 .....            | 49 |
| 表 5-11 STANDBY0 模式电流 .....        | 49 |
| 表 5-12 STANDBY1 模式电流 .....        | 50 |
| 表 5-13 SHUTDOWN 模式电流 .....        | 50 |
| 表 5-14 低功耗模式唤醒时间 .....            | 50 |
| 表 5-15 外部输入高速时钟特性参数 .....         | 51 |
| 表 5-16 外部输入低速时钟特性参数 .....         | 51 |
| 表 5-17 HOSC 振荡器特性参数 .....         | 52 |
| 表 5-18 LOSC 振荡器特性参数 .....         | 53 |
| 表 5-19 内部高速 4M RC 振荡器特性参数 .....   | 54 |
| 表 5-20 内部高速 48M RC 振荡器特性参数 .....  | 54 |
| 表 5-21 内部低速 RC 振荡器特性参数 .....      | 54 |
| 表 5-22 小数分频锁相环 PLL 特性参数 .....     | 55 |
| 表 5-23 FLASH 存储器特性参数 .....        | 55 |
| 表 5-24 EMS 电磁耐受性 .....            | 56 |
| 表 5-25 静电放电最大额定值 .....            | 56 |
| 表 5-26 静态闩锁最大额定值 .....            | 56 |
| 表 5-27 IO 端口 DC 特性参数 .....        | 57 |
| 表 5-28 IO 端口 AC 特性参数 .....        | 58 |
| 表 5-29 NRST 特性参数 .....            | 61 |
| 表 5-30 定时器特性参数 .....              | 61 |
| 表 5-31 内部集成电路总线 I2C 特性参数 .....    | 62 |
| 表 5-32 串行外设接口 SPI 特性参数 .....      | 63 |
| 表 5-33 USB FS 全速特性参数 .....        | 65 |

---

|                                                         |    |
|---------------------------------------------------------|----|
| 表 5-34 模数转换器 ADC 特性参数.....                              | 66 |
| 表 5-35 $f_{ADC} = 12 \text{ MHz}$ , $R_{AIN}$ 最大值 ..... | 67 |
| 表 5-36 模拟比较器 CMP 特性参数 .....                             | 67 |
| 表 5-37 温度传感器特性参数 .....                                  | 67 |
| 表 5-38 内部电压源特性参数.....                                   | 68 |

## 第1章 简介

该数据手册为 FS026x7L 系列微控制器提供订单信息以及器件物理特性。阅读数据手册时请配合用户手册(FS026x7L 用户手册)一起使用。

关于 Cortex-M0 可参考《Cortex-M0 技术参考手册》，可从 ARM 官网(<http://infocenter.arm.com>)获得。

## 第2章 概述

FS026x7L 微控制器是一系列低功耗微控制器，集成高性能 ARM Cortex<sup>TM</sup>-M0 32 位 RISC 内核的低功耗微控制器。该芯片的最高工作频率为 72MHz，具有 128Kbytes Flash 和 16Kbytes SRAM 嵌入式存储器。提供广泛且有效的功能模块，以及符合标准的通讯接口，包含 2 个 I2C，1 个 SPI 含 I2S 功能，2 个 SPI，4 个 UART，1 个高级 16 位定时器，1 个通用 32 位定时器，7 个通用 16 位定时器，1 个基本 16 位定时器，1 个 12 位 ADC，和 2 个模拟比较器。

FS026x7L 微控制器，具备 USB 2.0 全速功能主机/设备控制器，带有集成收发器，且 USB 无需外接晶振或振荡器。在系统中 USB 功能被大大简化，并且可以通过减少外部时钟组件来提高成本效益。对于无晶体 USB 应用，可以使用芯片上 4 Mhz 和 48 Mhz 工厂校准高速 RC 振荡器。48Mhz 时钟源可用于 USB 时钟恢复功能。

FS026x7L 微控制器的工作电压和温度分别为 1.8V ~ 5.5V 和 -40°C ~ +85°C。它具有广泛的低功耗模式功能，支持各种低功耗应用。

这些特性使 FS026x7L 微控制器适用于广泛的应用，如白色家电、智能家电、人机交互、键盘、鼠标、游戏手柄、电子烟等。

## 2.1 器件资源

| 外设                   | FS026C7L<br>FS026C7N | FS026S7L<br>FS026R7L       |
|----------------------|----------------------|----------------------------|
| Flash (Kbytes)       | 128                  | 128                        |
| SRAM(KBytes)         | 16                   | 16                         |
| GPIO                 | Max: 38              | Max: 54                    |
| 12-bit ADC           | 1 (10 channels)      | 1 (16 channels)            |
| CMP                  | 2                    | 2                          |
| DMA                  | 6 channels           |                            |
| CRC                  | 1                    |                            |
| AES                  | 1 (128 bits)         |                            |
| CALC 运算加速器           | 32bits 除法/开根号        |                            |
| KeyBoard (PWM)       | N/A                  | 7x24                       |
| 定时器                  | AD16C4T              | 1                          |
|                      | GP32C4T              | 1                          |
|                      | GP16C4T              | 3                          |
|                      | GP16C2T              | 4                          |
|                      | BS16T                | 1                          |
|                      | WWDT                 | 1                          |
|                      | IWDT                 | 1                          |
| 通信接口                 | I2C                  | 2                          |
|                      | SPI                  | 1(SPI1/I2S Full Duplex)    |
|                      |                      | 1(SPI2)      2(SPI2, SPI3) |
|                      | UART                 | 4                          |
|                      | USB                  | 1(Full Speed Dual Role)    |
| CPU 操作频率             | Max. 72 Mhz          |                            |
| 数字工作电压 ( $V_{DDH}$ ) | 1.8V - 5.5V          |                            |
| 模拟工作电压 ( $V_{DDA}$ ) | 2.4V - 5.5V          |                            |
| 封装类型                 | LQFP48/QFN48         | LQFP64                     |

表 2-1 器件资源列表

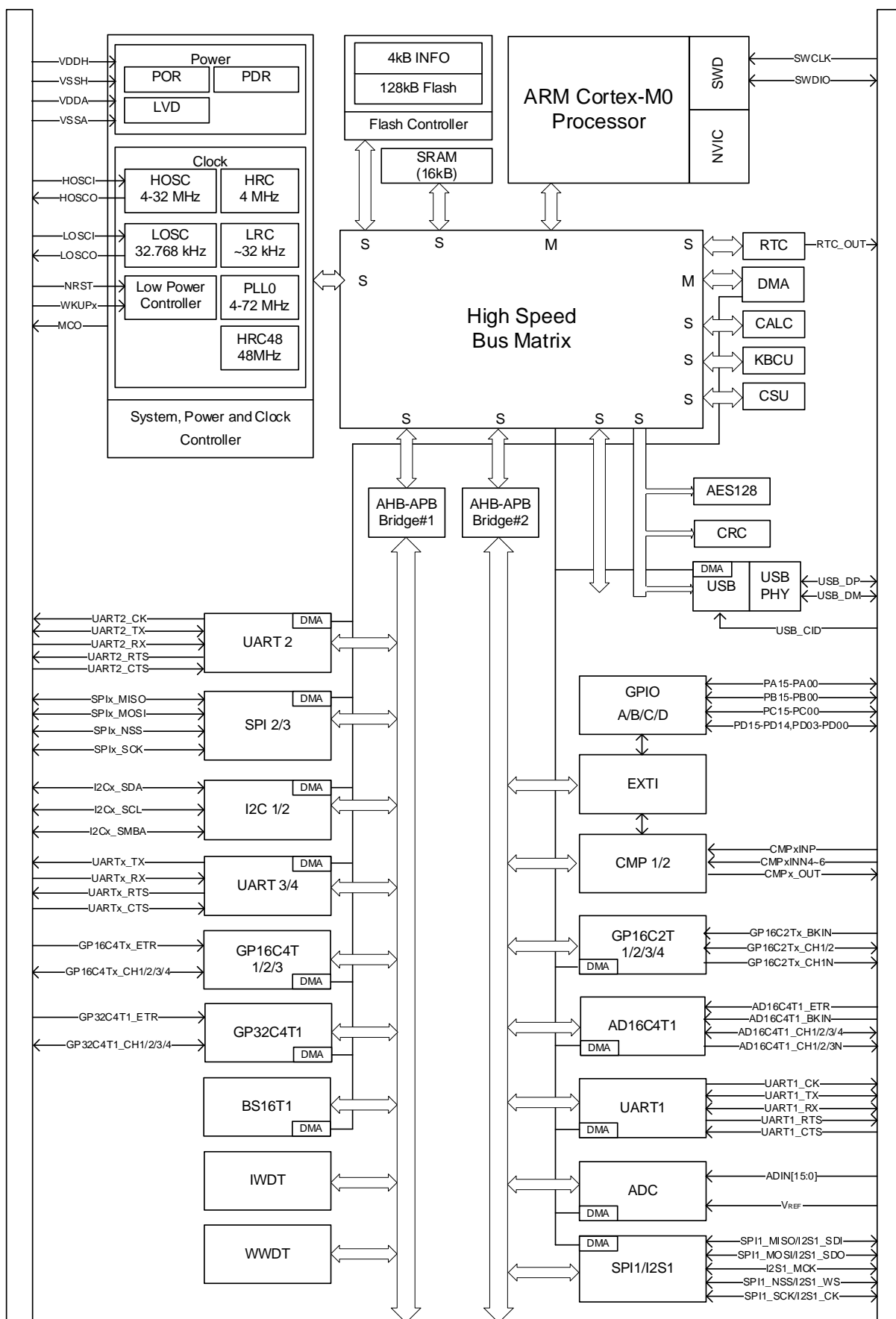


图 2-1 FS026x7L 系统结构图

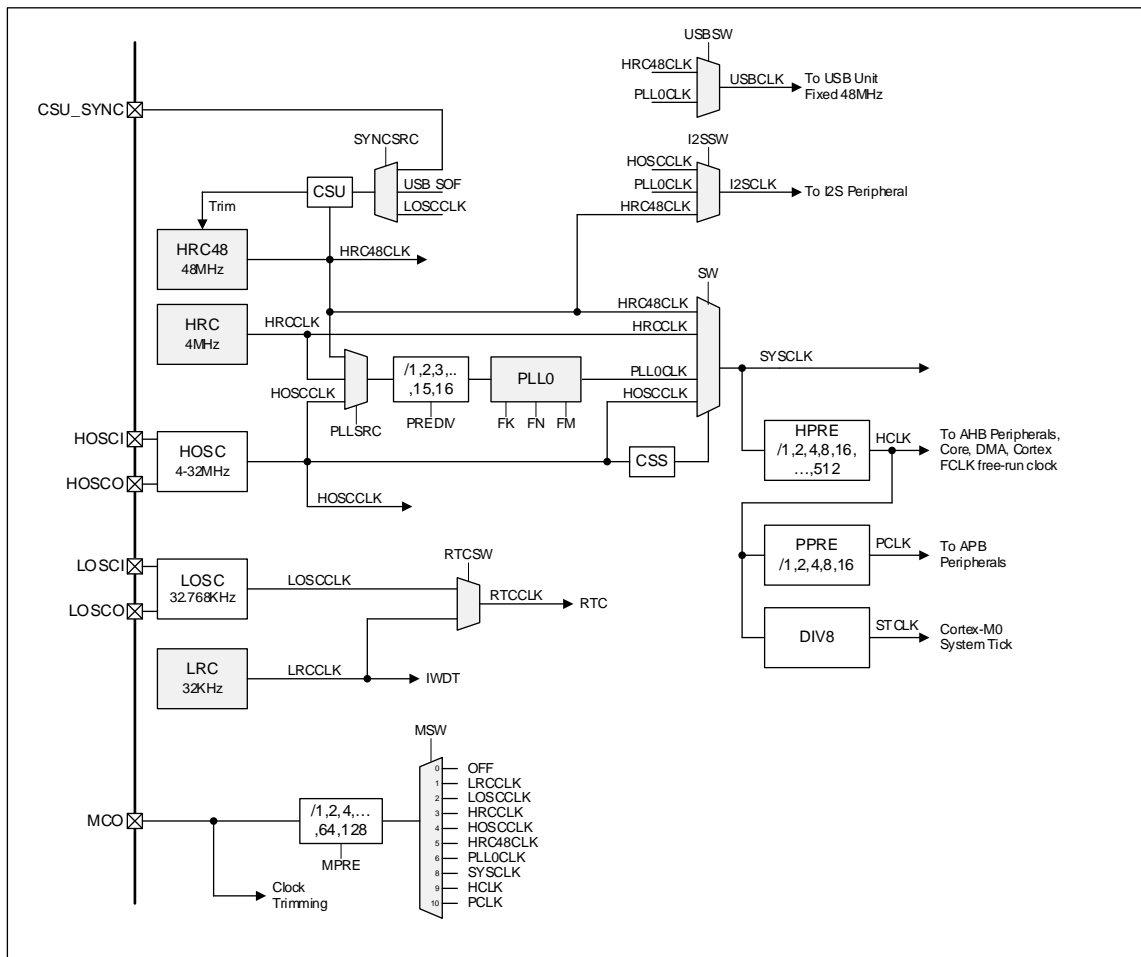


图 2-2 系统时钟树

## 2. 2 器件资源概述

### 2. 2. 1 MCU内核

#### 2. 2. 1. 1 ARM Cortex-M0 内核

此处理器配置以下功能:

- ◇ 内置向量中断控制器(NVIC): 32 个外部中断
- ◇ 小端模式
- ◇ 集成系统定时器- SysTick
- ◇ 暂停调试支持
- ◇ 快速乘法器
- ◇ 支持串行线调试(SWD)连接

处理器外围设备:

- ◇ CPU 系统定时器控制(SysTick)
- ◇ CPU 嵌套向量中断控制器(NVIC)
- ◇ CPU 系统控制

#### 2. 2. 1. 2 NVIC

- ◇ 32 个可屏蔽中断通道
- ◇ 可编程中断优先级
- ◇ 低延迟异常和中断处理
- ◇ 电源管理控制
- ◇ 系统控制寄存器的实现

NVIC 和处理器核心接口紧密耦合, 可实现低延迟中断处理和后期到达中断的高效处理。

#### 2. 2. 1. 3 系统节拍定时器

包括一个集成系统定时器- SysTick , 提供一个简单的 24 位清零写入, 递减计数器和灵活的控制机制。该计数器可用作实时操作系统(RTOS)计时定时器或简单计数器。

## 2.2.2 存储器

嵌入式闪存依芯片型号不同，最多支持 128KB 供用户存放应用程序(Application Code)或是储存数据。闪存控制器允许用户通过在线系统编程器(ISP)、SWD、Bootrom 或是闪存内的程序，修改已焊接于 PCB 板上芯片的闪存数据。

### 2.2.2.1 静态随机存取存储器 (SRAM)

支持最大 16 KByte SRAM，支持内核单周期访问。

### 2.2.2.2 闪存 (FLASH)

最大 128 KByte FLASH 存储空间用于存放程序和数据。

### 2.2.2.3 闪存操作解锁

闪存控制器初始会处在锁定状态，用户无法通过闪存控制器对闪存进行编程与擦除，以避免闪存内的数据被意外擦除或覆盖。若用户需要使用闪存的编程与擦除功能时，需要先对闪存控制器进行解锁，解锁流程需连续输入 2 组解锁密钥。

### 2.2.2.4 存储器保护区

程序区的保护依据功能可分为用户代码读出保护(UCRP)、读保护(RP)与写保护(WP)，除了读保护以外的保护都支持以 Sector(4 个页)为单位进行配置，最多支持 2 组区间保护。所有的保护设定在配置完毕以后都不会立即生效，用户需通过配置字重载流程、重新上电或是从 STANDBY0 模式、STANDBY1 模式或 SHUTDOWN 模式唤醒后才会使新的保护设定生效。

- ◆ 用户代码读出保护：用户代码读出保护的主要功能为防止保护区内的数据被读出与修改，因此保护区内禁止任何以读取”数据”的方式进行读取但允许读取指令执行，同时为了防止保护区内的信息被覆盖，因此保护区内禁止编程与擦除。
- ◆ 读保护：读保护的主要功能为防止程序区被 Debug Port 与 Bootrom 读出与修改，但保护区内的程序仍可读取与修改保护区内的数据。读保护共分为 3 个等级，分别如下所示：
  - ◇ Lv0：不保护。
  - ◇ Lv1：在此模式下仅有程序区的程序才可以对程序区进行读取与修改，但存放保护设定的信息区则不受限制。
  - ◇ Lv2：开启此模式后无法再将保护降回 Lv1 保护或是 Lv0 保护，同时会断开 Debug Port，并将系统强制映像在程序区，因此用户无法再通过 Debug Port 与 Bootrom 重新修改程序区的内容，但用户仍可通过程序区内事先写好的更新流程来修改程序区的内容。
- ◆ 写保护：写保护的主要目的为防止程序区内的数据被误擦除或是被覆盖，因此受到保护的区域会禁止进行编程与擦除，并不会禁止读取。

### 2.2.2.5 启动方式

在芯片上电之后，通过判断选项字节，选择以下二种方式启动：

- ◇ 从用户程序启动(地址为 0x00000000)。
- ◇ 从 Bootrom 启动(地址为 0x10000000)。

## 2.2.3 系统管理

### 2.2.3.1 电源

1.8V~5.5V 电源通过 VDDH 引脚为所有 IO 和内部稳压器供电。

### 2.2.3.2 电源监视

- ◇ 上电复位(POR): 当电源电压从 0V 上升至超过  $V_{POR}$  时, 离开复位状态开始运行。
- ◇ 掉电复位(PDR): 当电源电压下降至低于  $V_{PDR}$  时, 进入复位状态。
- ◇ 可编程欠压复位(Brownout Reset, BOR): 可配置发生欠压复位阈值  $V_{BOR}$ , 当电源电压低于  $V_{BOR}$  时, 进入复位状态。
- ◇ 可编程低压检测器(Low Voltage Detector, LVD): 可配置检测电压阈值  $V_{LVD}$  进行比较, 当电源低于  $V_{LVD}$  时, 产生 LVD 中断标志位。

### 2.2.3.3 稳压器

- ◇ 内核稳压器: 提供稳定内核电压, 确保内核电压域稳定运作。
- ◇ USB 稳压器: 提供 USB PHY 稳定电压源  $V_{DDSUB}$ 。

### 2.2.3.4 低功耗模式

FS026x7L 提供 5 种低功耗模式:

- ◇ SLEEP 模式: 此模式下 CPU 处于静止, 所有外设可维持工作状态, 通过外设中断事件将 CPU 唤醒。
- ◇ STOP 模式: 此模式下关闭所有时钟源, 不再支持外设中断唤醒, 可额外配置 FLASH 进入 STOP 模式降低功率消耗。仅能通过 RTC、IWDT、低电压检测(LVD)、外部唤醒 WKUPx 引脚或拉低 NRST 引脚唤醒 CPU。
- ◇ STANDBY0 模式: 此模式下关闭内核电源, 保持 SRAM1 存储数据, 清除所有内核数据。仅能通过 RTC、IWDT、低电压检测(LVD)、外部唤醒 WKUPx 引脚或拉低 NRST 引脚唤醒 CPU。
- ◇ STANDBY1 模式: 此模式下关闭内核电源, 并清除所有内核与 SRAM 数据。仅能通过 RTC、IWDT、低电压检测(LVD)、外部唤醒 WKUPx 引脚或拉低 NRST 引脚唤醒 CPU。
- ◇ SHUTDOWN 模式: 此模式下关闭内核电源与 BandGap, 能提供最低功耗。由于 BandGap 关闭, 无法再使用 BOR 与 LVD 功能, 仅能通过 RTC、IWDT、外部唤醒 WKUPx 引脚或拉低 NRST 引脚唤醒 CPU。

### 2.2.3.5 时钟管理

- ◇ HRC: 内部高速 RC 振荡器, 频率约 4 MHz, 默认使用此时钟当作系统时钟
- ◇ HRC48: 内部高速 RC 振荡器, 频率约 48 MHz, 支持自动校准
- ◇ HOSC: 外部高速晶体振荡器, 支持 4 MHz 至 32 MHz
- ◇ LRC: 内部低速 RC 振荡器, 频率约 32 kHz
- ◇ LOSC: 外部低速晶体振荡器, 频率约 32.768 kHz
- ◇ PLL0: 内部 PLL 时钟, 支持 4 MHz 至 72 MHz, 任意整数及分数频

### 2.2.3.6 直接存储访问 (DMA)

DMA(Direct Memory Access)控制器能够独立于内核进行内存操作，以降低功耗和内核的工作负载。包含 6 个 DMA 信道，每个信道分别对应一个 DMA 多路复用器。所有 DMA 请求来源，可由多路复用器选择。DMA 支持存储器到存储器、存储器到外设或外设到存储器之间的数据传输。

### 2.2.3.7 外设互联(PIS)

PIS(Peripheral Interaction System)使用于外设互联桥接，利用 PIS 实现外设之间的相互触发，控制及自动化工作，提高系统实时性和快速响应能力，可避免占用过多 CPU 工作负载并简化软件工作，为各种应用提供便捷。

### 2.2.3.8 看门狗定时器

#### ◆ 独立看门狗定时器(IWDT)

IWDT(Independent Watchdog)用于检测软件和硬件故障异常，如主时钟停振、程序异常造成无法喂狗；当计数器超时，将触发系统复位。当 IWDT 开启后，用户无法通过软件关闭，并强制开启内部低速时钟 LRC 作为计数时钟。在调试模式下，定时器可被冻结。

#### ◆ 窗口看门狗定时器(WWDT)

WWDT(Window Watchdog)使用系统时钟 PCLK 作为计数时钟，对于过早或过晚喂狗都将产生 WWDT 复位，可用于检测软件没有喂狗或过早的喂狗行为，防止程序跑至不可控状态。

## 2.2.4 外部接口

### 2.2.4.1 通用IO(GPIO)

每个 GPIO 引脚可单独配置为输入或输出，且有独立的开漏或开源输出控制，驱动能力选择，上拉或下拉选择，CMOS/TTL 输入选择以及模拟滤波输入使能控制。大部分端口可与模拟功能及其他数字外设功能复用。每个端口均支持中断，映射到 16 个中断向量中。

### 2.2.4.2 外部中断/事件控制器(EXTI)

外部中断和事件控制器(EXTI)，提供多组独立且可配置的边沿检测，支持上升、下降或上下沿触发，并产生中断或事件需求。EXTI 控制器管理所有 GPIO 引脚、比较器 CMP、低电压检测 LVD 事件与外部引脚 WKUPx 触发的唤醒事件。

## 2.2.5 安全管理及运算加速

### 2.2.5.1 循环冗余校验(CRC)

CRC(Cyclic Redundancy Check)主要是利用生成多项式与数据间的运算产生一组 CRC 校验结果。主要用来校验数据传输或数据储存可能出现的错误。支持 CRC32、CRC16 以及 CRC8，可自行编辑生成多项式(Generate Polynomial)，并可由 DMA 传输数据。

### 2.2.5.2 高级加密标准(AES)

AES(Advanced Encryption Standard)执行数据加密或解密，使用 128 位密钥和 128 位数据(明文或密文)。支持 CBC、CBF、OFB、CTR 以及 ECB 模式，并可由 DMA 传输数据。

### 2.2.5.3 运算加速器(CALC)

运算加速器(CALC)可执行平方根以及带符号除法的硬件运算加速。

## 2.2.6 定时器

FS026x7L 器件包括 10 个定时器。共支持 28 路 PWM 端口输出

| 定时器类别                | 定数器<br>计数位宽度 | 计数<br>类型       | 预分频比      | DMA<br>请求 | ADC<br>触发 | 输入捕捉/输出<br>比较通道<br>PWM | 互补<br>输出 | 数量 |
|----------------------|--------------|----------------|-----------|-----------|-----------|------------------------|----------|----|
| 高级控制定时器<br>(AD16C4T) | 16 位         | 向上<br>向下<br>上下 | 1 ~ 65536 | 支持        | 支持        | 4                      | 3        | 1  |
| 通用定时器<br>(GP32C4T)   | 32 位         | 向上<br>向下<br>上下 | 1 ~ 65536 | 支持        | 支持        | 4                      | 不支持      | 1  |
| 通用定时器<br>(GP16C4T)   | 16 位         | 向上<br>向下<br>上下 | 1 ~ 65536 | 支持        | 支持        | 4                      | 不支持      | 3  |
| 通用定时器<br>(GP16C2T)   | 16 位         | 向上             | 1 ~ 65536 | 支持        | 支持        | 2                      | 1        | 4  |
| 基本定时器<br>(BS16T)     | 16 位         | 向上             | 1 ~ 65536 | 支持        | 支持        | x                      | 不支持      | 1  |

表 2-2 定时器功能对照表

### 2.2.6.1 高级控制定时器(AD16C4T1)

- ◇ 16 位递增、递减、递增/递减自动加载计数器
- ◇ 16 位可编程预分频器，可在定时器运行中对计数器工作时钟进行 1 到 65536 间的任意分频
- ◇ 带有四个独立信道，每个信道支持以下功能
  - 输入捕获
  - 输出比较
  - PWM 输出(边沿与中心对齐模式)
  - 单脉冲输出
- ◇ 通道 1~3 支持互补输出，可配置死区时间
- ◇ 同步电路用于外部信号控制定时器及内部互联多个定时器
- ◇ 在给定数目的计数周期之后更新重复计数寄存器
- ◇ 支持刹车功能，刹车后定时器输出状态可控
- ◇ 支持中断事件与 DMA 请求
- ◇ 支持增量(正交)编码及霍尔电路进行定位
- ◇ 外部时钟输入触发计数器
- ◇ 在调试模式下，定时器可被冻结

### 2.2.6.2 通用定时器 32 位 4 通道(GP32C4T1)

- ◇ 32 位递增, 递减, 递增/递减自动加载计数器
- ◇ 16 位可编程预分频器, 可在定时器运行中对计数器工作时钟进行 1 到 65536 间的任意分频
- ◇ 带有四个独立信道, 每个信道支持以下功能
  - 输入捕获
  - 输出比较
  - PWM 输出(边缘与中心对齐模式)
  - 单脉冲输出
- ◇ 同步电路用于外部信号控制定时器及内部互联多个定时器
- ◇ 支持中断事件与 DMA 请求
- ◇ 支持增量(正交)编码及霍尔电路进行定位
- ◇ 外部时钟输入触发计数器
- ◇ 在调试模式下, 定时器可被冻结

### 2.2.6.3 通用定时器 16 位 4 通道(GP16C4Tn, n=1~3)

- ◇ 16 位递增、递减、递增/递减自动加载计数器
- ◇ 16 位可编程预分频器, 可在定时器运行中对计数器工作时钟进行 1 到 65536 间的任意分频
- ◇ 带有四个独立信道, 每个信道支持以下功能
  - 输入捕获
  - 输出比较
  - PWM 输出(边沿与中心对齐模式)
  - 单脉冲输出
- ◇ 同步电路用于外部信号控制定时器及内部互联多个定时器
- ◇ 支持中断事件与 DMA 请求
- ◇ 支持增量(正交)编码及霍尔电路进行定位
- ◇ 外部时钟输入触发计数器
- ◇ 在调试模式下, 定时器可被冻结

### 2.2.6.4 通用定时器 16 位 2 通道(GP16C2Tn, n=1~4)

- ◇ 16 位递增自动加载计数器
- ◇ 16 位可编程预分频器, 可在定时器运行中对计数器工作时钟进行 1 到 65536 间的任意分频
- ◇ 带有两个独立信道, 每个信道支持以下功能
  - 输入捕获
  - 输出比较

- PWM 输出
- 单脉冲输出
- ◇ 信道 1 支持互补输出，可配置死区时间
- ◇ 同步电路用于外部信号控制定时器及内部互联多个定时器
- ◇ 在给定数目的计数周期之后更新重复计数寄存器
- ◇ 支持刹车功能，刹车后定时器输出状态可控
- ◇ 支持中断事件及 DMA 请求
- ◇ 在调试模式下，定时器可被冻结

#### **2. 2. 6. 5 基本定时器 (BS16T1)**

- ◇ 16 位自动加载递增计数器
- ◇ 16 位可编程预分频器，可在定时器运行中对计数器工作时钟进行 1 到 65536 间的任意分频
- ◇ 计数上溢更新事件产生中断请求
- ◇ 在调试模式下，定时器可被冻结

#### **2. 2. 6. 6 实时时钟(RTC)**

Real Time Clock (RTC) 可提供用户准确的时间以及日期信息，这些信息皆以 BCD 的格式存储在 RTC 控制寄存器内部，同时提供用户自定义设定闹铃功能与硬件自动定时校准功能。RTC 的时钟来源分为 2 种供用户选择，分别为外部 32.768 KHz 的晶体振荡器以及内部约 32 KHz 的 RC 振荡器。此外，RTC 也支持将系统从低功耗模式唤醒的功能，同时当系统处在低功耗模式时，RTC 仍可持续计时。

#### **2. 2. 7 键盘控制单元 (KBCU)**

键盘控制单元应用于 RGB 键盘，在每个按键中提供三组 PWM 占空比输出与一组侦测击键装置。三组 PWM 占空比输出应用于 RGB 的 LED 上，侦测击键装置，通过硬件自动扫描侦测击键，并将击键位置数值存于寄存器中，通过读取寄存器找出键盘的相对位置。支持最多配置 24 组扫描列，最少配置 15 组扫描列，以及闪烁功能与 32 阶亮度屏蔽功能。

## 2.2.8 通信

### 2.2.8.1 通用异步收发器 (UART)

通用异步收发器(UART)提供了一个灵活的方式，使 MCU 可以与外部设备通过工业标准 NRZ 的形式实现全双工异步串行数据通讯。UART 可以使用小数波特率发生器，提供了超宽的波特率设置范围。

UART 支持异步通讯模式和半双工单线通讯，也支持 LIN(本地互联网络)、智能卡协议、IrDA(红外数据协会)SIR ENDEC 规范和 modem 流控操作(CTS/RTS)，同时还支持多机通讯方式。

支持使用 DMA 实现多缓冲区设置，从而能够支持高速数据通讯。

| UART 模式/特性    | UART1/2       | UART3/4 |
|---------------|---------------|---------|
| Modem 的硬件控制   | v             | v       |
| 使用 DMA 实现连续通讯 | v             | v       |
| 多机通讯模式        | v             | v       |
| 智能卡模式         | v             | -       |
| 单线半双工模式       | v             | -       |
| IrDA SIR 模块   | v             | -       |
| LIN 模式        | v             | -       |
| 超时检测功能        | v             | v       |
| Modbus 通讯     | v             | v       |
| 自动波特率检测模式     | v             | v       |
| RS485 的驱动使能信号 | v             | v       |
| Modem 的硬件控制   | 5, 6, 7, 8, 9 |         |

表 2-3 UART1~4 具体功能配置

### 2.2.8.2 内部集成电路总线 (I2C)

I2C 是两线双向的串行传输总线，提供了一种简单有效的方法来实现设备之间的数据交换。

I2C 标准是一个多主机总线包括冲突检测与仲裁，如果两个或两个以上的主机试图同时控制总线时，其仲裁可以防止数据损坏。在此提供了标准模式(Sm)、快速模式(Fm)与极快速模式(Fm+)供用户选择。并且也提供 SMBus(系统管理总线)与 PMBus(电源管理总线)。

### 2.2.8.3 串行外设接口 (SPI) / 集成电路内置音频总线 (I2S)

SPI 接口提供两个主要功能，支持 SPI 协议或 I2S 音频协议。默认情况下，选择的是 SPI 功能。可通过软件将接口从 SPI 切换到 I2S。

串行外设接口(SPI)可与外部 SPI 设备进行半双工或全双工的同步串行通信。该接口可配置为主机模式或从机模式。在配置为主机模式下，它可为外部 SPI 从设备提供通信时钟(SCK)。该接口还能够在多主机模式配置下工作。

I2S 协议也是同步串行通信接口。它可在全双工模式(使用 4 引脚)或半双工模式(使用 3 个引脚)

下作为从机或主机工作。当 I<sub>2</sub>S 配置为通信主机模式时，该接口可以向外部 I<sub>2</sub>S 从设备提供主时钟(MCLK)。它可以满足四种不同的音频标准，包括 I<sub>2</sub>S Philips 标准、MSB 和 LSB 对齐标准以及 PCM 标准。

#### ◆ SPI 实现

本手册介绍了 SPI1、SPI2 和 SPI3 中实现的全部功能。

| SPI 模式/特性                  | SPI1 | SPI2 | SPI3 |
|----------------------------|------|------|------|
| Rx 和 Tx FIFO 大小(N)[ x 8 位] | 16   | 4    | 4    |
| I <sub>2</sub> S 功能        | 有    | 无    | 无    |

表 2-4 SPI 特性

#### 2.2.8.4 时钟同步单元 (CSU)

时钟同步单元是一个特殊模块，用于自动校准内部高速 48 MHz RC 振荡器(HRC48)，以确保时钟操作在最佳的精准度，校准方法是利用 HRC48 输出时钟同步参考时钟，参考时钟的来源可以选择 USB 的 SOF 信号、LOSC 振荡器、CSU\_SYNC 引脚或是通过软件产生，此外还提供手动校准功能，与自动校准功能结合，将更快地锁定精准频率。

#### 2.2.8.5 通用串行总线 (USB)

该 USB 控制器作为全速 USB 设备的控制器，兼容 USB2.0 协议规范中全速数据传输(12Mbps)标准。支持点对点通信时工作于主机或设备两种模式。

支持会话请求协议 SRP(Session Request Protocol)和主机协商协议 HNP(Host Negotiation Protocol)通信协议。

## 2. 2. 9 模拟

### 2. 2. 9. 1 内部电阻分压电源 (VRES)

内部电阻分压电源，可选择内部参考电压(VREFINT)或仿真电压源 VDDA，提供不同的电阻分压(VRES/x)，给 ADC 与 CMP 使用。

### 2. 2. 9. 2 模拟/数字转换器 (ADC)

该 12 位模数转换器(ADC)具有最多 16 个外部通道和 3 个内部通道(温度传感器，内部参考电压，内部电阻分压)，并可以单次或扫描模式执行转换。在扫描模式下，将对一组选定的模拟输入执行自动转换。

模数转换器可由 DMA 控制器提供服务。

模拟看门狗功能可以非常精确地监视一个，一些或所有选定通道的转换电压。当转换后的电压超出设定的阈值时，将产生中断。

#### ◆ 温度传感器 (TS)

温度传感器(TS)产生随温度线性变化的电压  $V_{TS}$ 。

温度传感器内部连接到 ADC 输入信道 ADIN16，该信道用于将传感器输出电压转换为数字值。

该传感器具有良好的线性度，但必须对其进行校准才能获得良好的温度测量整体精度。由于温度传感器的偏移量因工艺变化而在芯片之间变化，因此未经校准的内部温度传感器适用于仅检测温度变化的应用。

#### ◆ 内部参考电压 (VREFINT)

内部参考电压(VREFINT)，内部连接到 ADC 输入信道 ADIN17。

#### ◆ 内部电阻分压 (VRES/x)

提供 6 种分压电源 VRES/x，连接到 ADC 输入信道 ADIN18。

### 2. 2. 9. 3 模拟比较器 (CMP)

模拟比较器是可以比较两个模拟电压的值，并以逻辑输出的形式显示比较结果。内含两个轨到轨低功耗模拟比较器(CMP1 和 CMP2)，并且具有可选的输出极性，每个比较器可以向设备引脚提供输出并替换电路板上的模拟比较器。输入电压来源可选择：

- ◇ 外部 I/O 输入 PA00~PA05
- ◇ 内部电阻分压(VRES/x): 1/4、1/2 和 3/4

两个比较器都可以从 STOP 模式唤醒，为定时器产生中断，也可以组合成一个窗口比较器。

## 第3章 引脚说明

### 3.1 引脚图

#### 3.1.1 LQFP64 (7x7mm) 引脚图

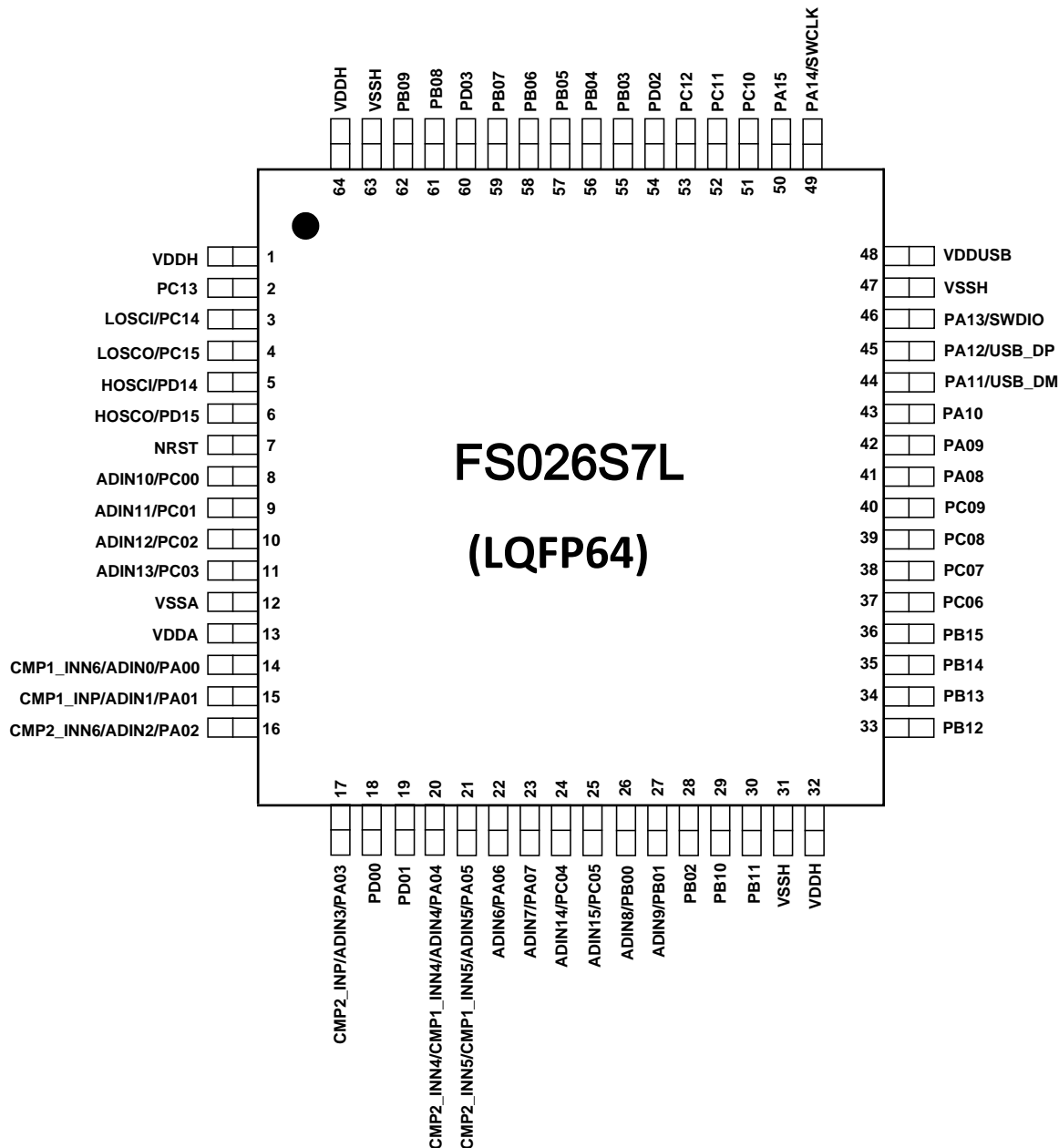


图 3-1 FS026S7L 64-Pin (7x7mm) LQFP 引脚图

### 3.1.2 LQFP64 (10x10mm) 引脚图

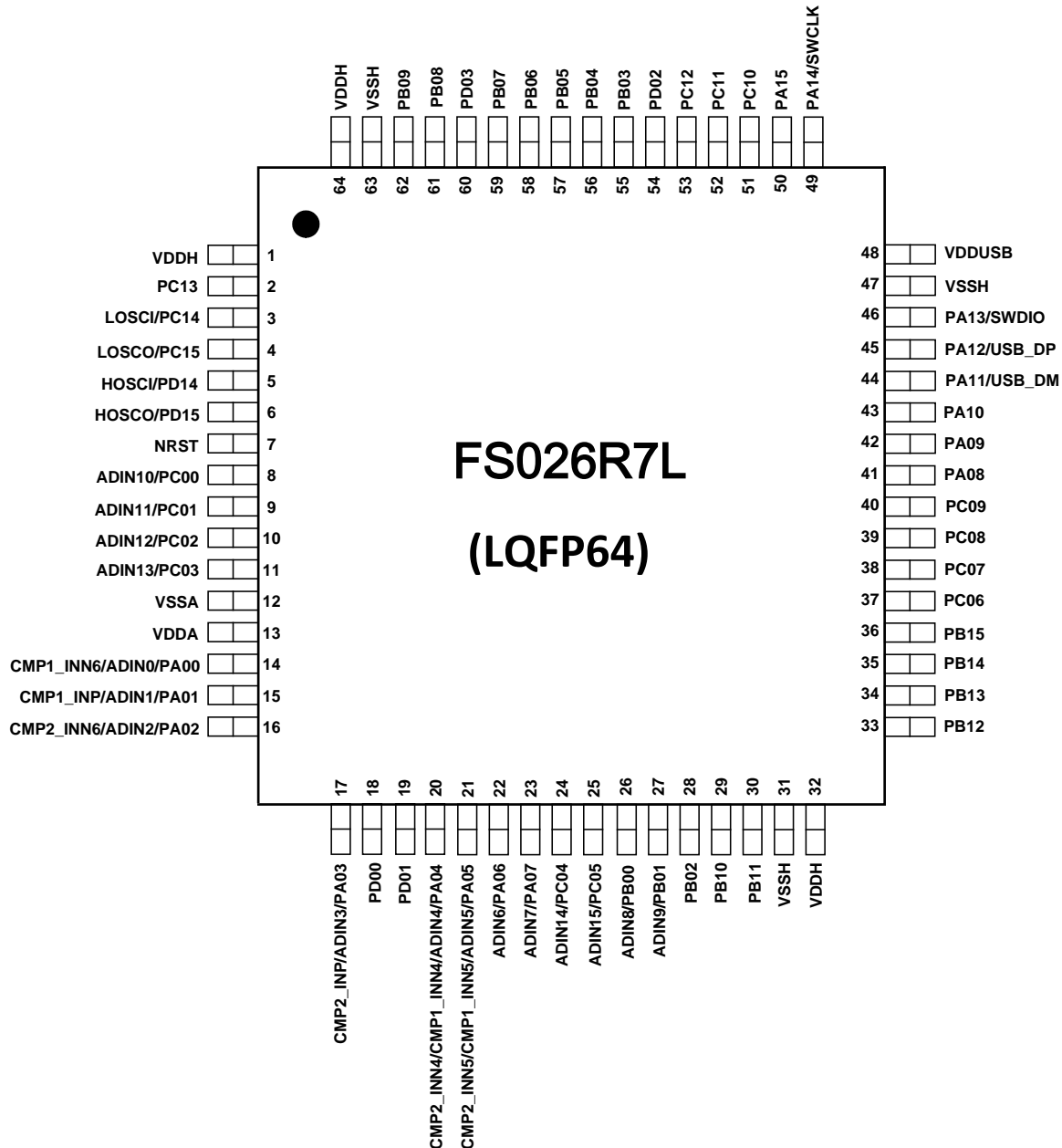


图 3-2 FS026R7L 64-Pin (10x10mm) LQFP 引脚图

### 3.1.3 LQFP48 (7x7mm) 引脚图

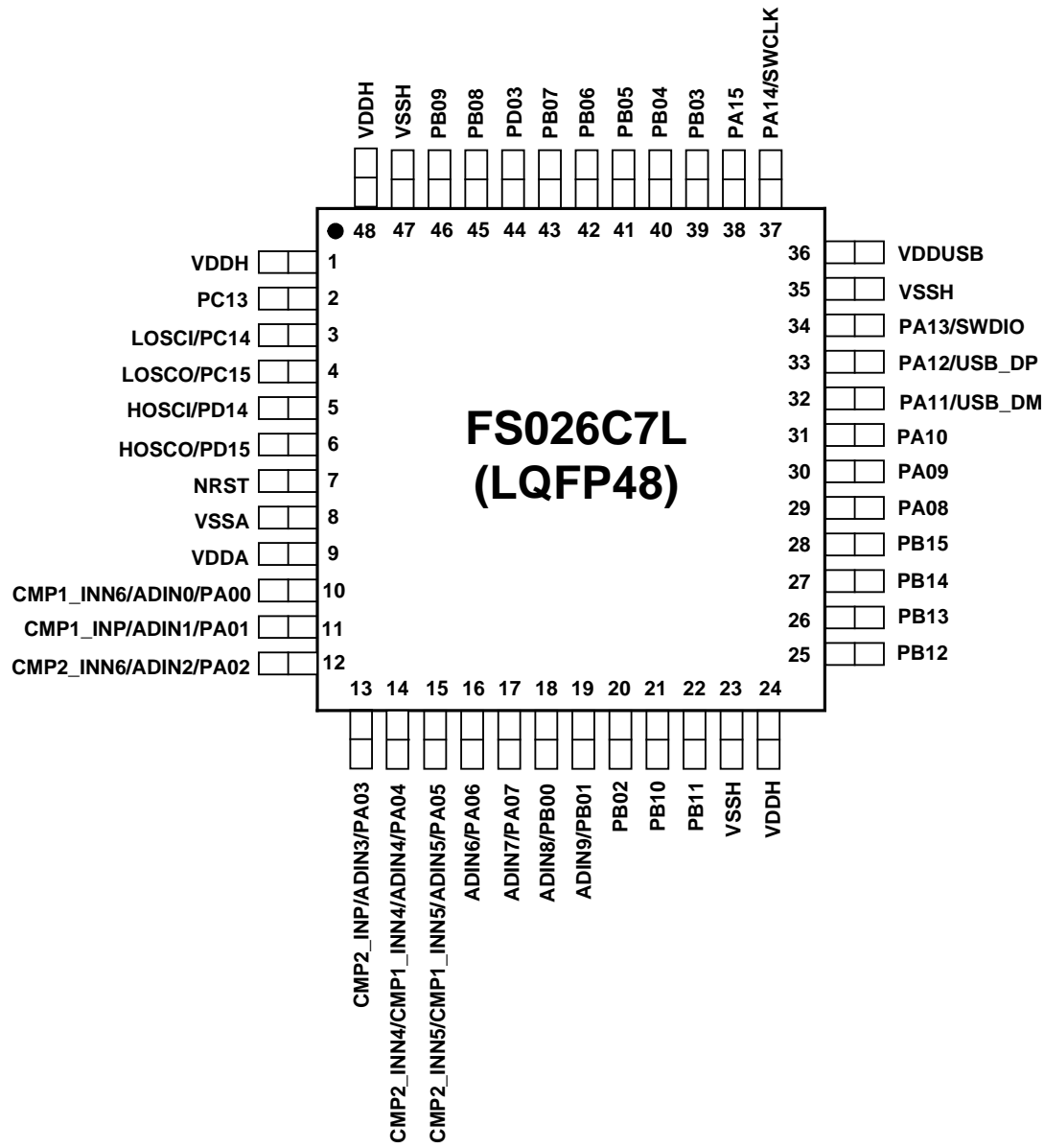


图 3-3 FS026C7L 48-Pin (7x7mm) LQFP 引脚图

### 3.1.4 QFN48(5x5mm) 引脚图

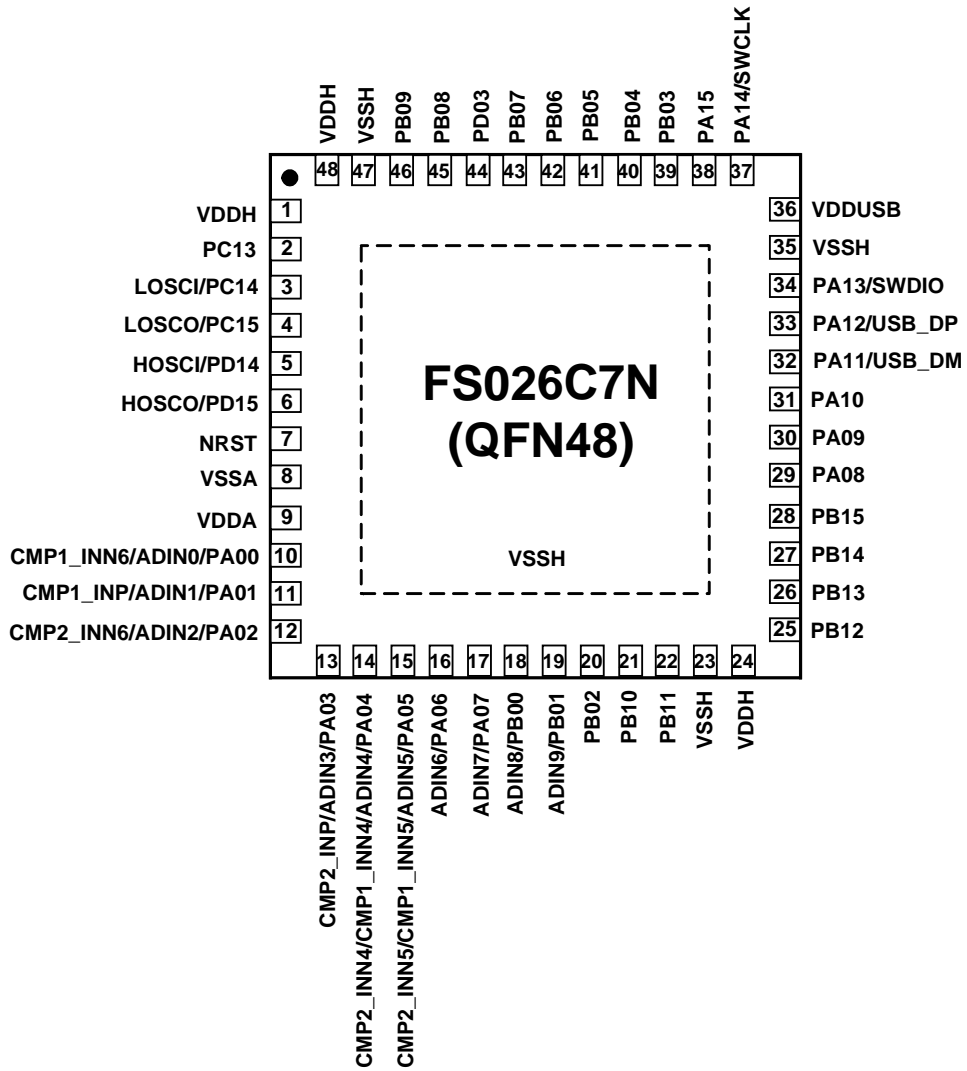


图 3-4 FS026C7N 48-Pin (5x5mm) QFN 引脚图

注：未使用的 I/O 管脚（包括产品封装引脚数小于最大引脚数时，未引出的 I/O 管脚）都需设置为输出低电平并禁止内部弱上下拉，否则芯片功耗可能会出现异常，芯片工作稳定性也容易因外界干扰而降低。  
FS026S7L 和 FS026R7L 为最大引脚数封装，所有 I/O 管脚均已引出；  
FS026C7L 和 FS026C7N 未引出的 I/O 包括 PC00~PC12, PD00~PD02。

### 3.2 引脚定义

| 引脚     |              | 引脚名称       | 类型  | 复用功能                                                                                                           |                    |
|--------|--------------|------------|-----|----------------------------------------------------------------------------------------------------------------|--------------------|
| LQFP64 | LQFP48/QFN48 |            |     | 数字复用功能                                                                                                         | 模拟复用功能             |
| 1      | 1            | VDDH       | P   | POWER                                                                                                          |                    |
| 2      | 2            | PC13       | I/O | KBCU_COL13                                                                                                     | —                  |
| 3      | 3            | PC14_LOSCI | I/O | KBCU_COL14                                                                                                     | LOSCI              |
| 4      | 4            | PC15_LOSCO | I/O | KBCU_COL15                                                                                                     | LOSCO              |
| 5      | 5            | PD14_HOSCI | I/O | KBCU_COL21<br>KBCU_COL23                                                                                       | HOSCI              |
| 6      | 6            | PD15_HOSCO | I/O | KBCU_COL20<br>KBCU_COL22                                                                                       | HOSCO              |
| 7      | 7            | NRST       | A   | —                                                                                                              | NRST               |
| 8      | —            | PC00       | I/O | SPI2_SCK<br>UART4_TX<br>GP16C4T3_CH1<br>KBCU_COL0                                                              | ADIN10             |
| 9      | —            | PC01       | I/O | SPI2_NSS<br>UART4_RX<br>GP16C4T3_CH3<br>KBCU_COL1                                                              | ADIN11             |
| 10     | —            | PC02       | I/O | SPI2_MISO<br>UART4_CTS<br>GP16C4T3_CH2<br>KBCU_COL2                                                            | ADIN12             |
| 11     | —            | PC03       | I/O | SPI2_MOSI<br>UART4_RTS<br>GP16C4T3_ETR<br>GP32C4T1_ETR<br>KBCU_COL3                                            | ADIN13             |
| 12     | 8            | VSSA       | G   | ANALOG GROUND                                                                                                  |                    |
| 13     | 9            | VDDA       | P   | ANALOG POWER                                                                                                   |                    |
| 14     | 10           | PA00       | I/O | SPI2_SCK<br>UART2_CTS<br>GP32C4T1_CH1<br>GP32C4T1_ETR<br>GP16C2T1_BKIN<br>UART4_TX<br>CMP1_OUT<br>KBCU_ROW0_R  | ADIN0<br>CMP1_INN6 |
| 15     | 11           | PA01       | I/O | SPI2_NSS<br>I2C2_SMBA<br>UART2_RTS<br>GP32C4T1_CH2<br>GP16C4T1_ETR<br>GP16C2T1_CH1N<br>UART4_RX<br>KBCU_ROW0_G | ADIN1<br>CMP1_INP  |
| 16     | 12           | PA02       | I/O | SPI2_MOSI<br>I2C2_SCL<br>UART2_TX<br>GP32C4T1_CH3<br>GP16C4T1_CH1<br>GP16C2T1_CH1<br>CMP2_OUT                  | ADIN2<br>CMP2_INN6 |

| 引脚     |              | 引脚名称 | 类型  | 复用功能                                                                                                                              |                                 |
|--------|--------------|------|-----|-----------------------------------------------------------------------------------------------------------------------------------|---------------------------------|
| LQFP64 | LQFP48/QFN48 |      |     | 数字复用功能                                                                                                                            | 模拟复用功能                          |
|        |              |      |     | KBCU_ROW0_B                                                                                                                       |                                 |
| 17     | 13           | PA03 | I/O | SPI2_MISO<br>I2C2_SDA<br>UART2_RX<br>GP32C4T1_CH4<br>GP16C4T1_CH2<br>GP16C2T1_CH2<br>KBCU_ROW1_R                                  | ADIN3<br>CMP2_INP               |
| 18     | —            | PD00 | I/O | GP16C4T1_CH3<br>KBCU_ROW4_R                                                                                                       | —                               |
| 19     | —            | PD01 | I/O | GP16C4T1_CH4<br>KBCU_ROW4_G                                                                                                       | —                               |
| 20     | 14           | PA04 | I/O | SPI1_NSS<br>I2S1_WS<br>UART2_CK<br>GP16C4T2_ETR<br>GP16C4T1_CH1<br>GP16C2T4_CH1<br>KBCU_ROW1_G                                    | ADIN4<br>CMP1_INN4<br>CMP2_INN4 |
| 21     | 15           | PA05 | I/O | SPI1_SCK<br>I2S1_CK<br>GP32C4T1_ETR<br>GP16C4T2_CH3<br>GP16C4T1_CH2<br>GP16C2T2_CH1N<br>GP32C4T1_CH1<br>KBCU_ROW1_B               | ADIN5<br>CMP1_INN5<br>CMP2_INN5 |
| 22     | 16           | PA06 | I/O | SPI1_MISO<br>I2S1_SDI<br>UART3_CTS<br>GP16C4T2_CH1<br>GP16C4T1_CH3<br>GP16C2T2_CH1<br>AD16C4T1_BKIN<br>CMP1_OUT<br>KBCU_ROW2_R    | ADIN6                           |
| 23     | 17           | PA07 | I/O | SPI1_MOSI<br>I2S1_SDO<br>GP16C2T4_CH1<br>GP16C4T2_CH2<br>GP16C4T1_CH4<br>GP16C2T3_CH1<br>AD16C4T1_CH1N<br>CMP2_OUT<br>KBCU_ROW2_G | ADIN7                           |
| 24     | —            | PC04 | I/O | UART3_TX<br>GP16C4T1_ETR<br>KBCU_COL4                                                                                             | ADIN14                          |
| 25     | —            | PC05 | I/O | UART3_RX<br>KBCU_COL5                                                                                                             | ADIN15                          |
| 26     | 18           | PB00 | I/O | UART1_TX<br>GP16C4T2_CH3<br>GP16C2T1_BKIN<br>AD16C4T1_CH2N<br>WKUP0<br>KBCU_KEY0                                                  | ADIN8                           |
| 27     | 19           | PB01 | I/O | UART1_RX<br>UART3_RTS<br>GP16C4T2_CH4<br>GP16C2T4_CH1<br>GP16C2T1_CH2                                                             | ADIN9                           |

| 引脚     |              | 引脚名称 | 类型  | 复用功能                                                                                                                          |        |
|--------|--------------|------|-----|-------------------------------------------------------------------------------------------------------------------------------|--------|
| LQFP64 | LQFP48/QFN48 |      |     | 数字复用功能                                                                                                                        | 模拟复用功能 |
|        |              |      |     | AD16C4T1_CH3N<br>WKUP1<br>KBCU_KEY1                                                                                           | —      |
| 28     | 20           | PB02 | I/O | I2C2_SMBA<br>GP16C4T3_CH3<br>GP16C2T1_CH1<br>WKUP2<br>KBCU_KEY2                                                               | —      |
| 29     | 21           | PB10 | I/O | SPI2_SCK<br>I2C2_SCL<br>UART3_TX<br>GP32C4T1_CH3<br>GP16C4T3_CH4<br>AD16C4T1_CH4<br>KBCU_ROW5_R                               | —      |
| 30     | 22           | PB11 | I/O | I2C2_SDA<br>UART3_RX<br>GP32C4T1_CH4<br>GP16C4T3_CH3<br>AD16C4T1_CH3<br>KBCU_ROW5_G                                           | —      |
| 31     | 23           | VSSH | G   | GROUND                                                                                                                        | —      |
| 32     | 24           | VDDH | P   | POWER                                                                                                                         | —      |
| 33     | 25           | PB12 | I/O | SPI2_NSS<br>I2C2_SMBA<br>UART3_RTS<br>GP16C2T1_BKIN<br>GP16C2T3_CH1<br>GP16C2T4_CH1<br>AD16C4T1_BKIN<br>KBCU_ROW5_B           | —      |
| 34     | 26           | PB13 | I/O | SPI2_SCK<br>I2C2_SCL<br>UART3_CTS<br>GP16C4T1_CH1<br>GP16C2T2_CH1<br>GP16C2T4_CH1N<br>AD16C4T1_CH1N<br>KBCU_ROW6_R            | —      |
| 35     | 27           | PB14 | I/O | SPI2_MISO<br>I2C2_SDA<br>UART3_RTS<br>GP16C4T1_CH2<br>GP16C2T1_CH1<br>GP16C2T4_CH2<br>AD16C4T1_CH2N<br>RTC_OUT<br>KBCU_ROW6_G | —      |
| 36     | 28           | PB15 | I/O | SPI2_MOSI<br>GP16C2T1_CH2<br>GP16C2T1_CH1N<br>GP16C2T4_BKIN<br>AD16C4T1_CH3N<br>USB_CID<br>KBCU_ROW6_B                        | —      |
| 37     | —            | PC06 | I/O | SPI3_NSS<br>UART3_TX<br>GP16C4T2_CH1<br>KBCU_COL6                                                                             | —      |
| 38     | —            | PC07 | I/O | SPI3_SCK                                                                                                                      | —      |

| 引脚     |              | 引脚名称   | 类型  | 复用功能                                                                                       |        |
|--------|--------------|--------|-----|--------------------------------------------------------------------------------------------|--------|
| LQFP64 | LQFP48/QFN48 |        |     | 数字复用功能                                                                                     | 模拟复用功能 |
|        |              |        |     | UART3_RX<br>GP16C4T2_CH2<br>KBCU_COL7                                                      |        |
| 39     | —            | PC08   | I/O | SPI3_MISO<br>UART3_CTS<br>GP16C4T2_ETR<br>GP16C4T2_CH3<br>KBCU_COL8                        | —      |
| 40     | —            | PC09   | I/O | SPI3_MOSI<br>UART3 RTS<br>GP16C4T1_ETR<br>GP16C4T2_CH4<br>GP16C2T3_CH2<br>KBCU_COL9        | —      |
| 41     | 29           | PA08   | I/O | I2S1_MCK<br>CSU_SYNC<br>UART1_CK<br>GP16C2T3_CH1<br>AD16C4T1_CH1<br>MCO<br>KBCU_ROW2_B     | —      |
| 42     | 30           | PA09   | I/O | UART1_TX<br>GP16C2T1_BKIN<br>GP16C2T3_CH1N<br>AD16C4T1_CH2<br>MCO<br>KBCU_ROW3_R           | —      |
| 43     | 31           | PA10   | I/O | USB_CID<br>UART1_RX<br>GP16C2T3_BKIN<br>AD16C4T1_CH3<br>KBCU_ROW3_G                        | —      |
| 44     | 32           | PA11   | I/O | SPI1_MISO<br>I2S1_SDI<br>UART1_CTS<br>AD16C4T1_CH4<br>CMP1_OUT                             | USB_DM |
| 45     | 33           | PA12   | I/O | SPI1_MOSI<br>I2S1_SDO<br>UART1_RTS<br>AD16C4T1_ETR<br>CMP2_OUT                             | USB_DP |
| 46     | 34           | PA13   | I/O | SWDIO<br>USB_CID<br>IR_OUT<br>GP16C2T3_CH2<br>AD16C4T1_CH1<br>KBCU_COL22<br>KBCU_COL20     | —      |
| 47     | 35           | VSSH   | G   | GROUND                                                                                     |        |
| 48     | 36           | VDDUSB | P   | USB POWER                                                                                  |        |
| 49     | 37           | PA14   | I/O | SWCLK<br>UART2_TX<br>GP16C4T2_CH4<br>AD16C4T1_BKIN<br>CMP1_OUT<br>KBCU_COL23<br>KBCU_COL21 | —      |
| 50     | 38           | PA15   | I/O | SPI1_NSS<br>I2S1_WS                                                                        | —      |

| 引脚     |              | 引脚名称 | 类型  | 复用功能                                                                                                                                                |        |
|--------|--------------|------|-----|-----------------------------------------------------------------------------------------------------------------------------------------------------|--------|
| LQFP64 | LQFP48/QFN48 |      |     | 数字复用功能                                                                                                                                              | 模拟复用功能 |
|        |              |      |     | UART2_RX<br>GP32C4T1_ETR<br>GP32C4T1_CH1<br>GP16C4T2_CH3<br>UART4_RTS<br>CMP2_OUT<br>KBCU_ROW3_B                                                    |        |
| 51     | —            | PC10 | I/O | SPI3_NSS<br>UART4_TX<br>UART3_TX<br>SPI1_SCK<br>I2S1_CK<br>KBCU_COL10                                                                               | —      |
| 52     | —            | PC11 | I/O | SPI3_SCK<br>UART4_RX<br>UART3_RX<br>SPI1_MOSI<br>I2S1_SDO<br>KBCU_COL11                                                                             | —      |
| 53     | —            | PC12 | I/O | SPI3_MISO<br>I2C1_SCL<br>SPI1 NSS<br>I2S1_WS<br>KBCU_COL12                                                                                          | —      |
| 54     | —            | PD02 | I/O | I2C1_SDA<br>UART3_RTS<br>GP16C4T2_ETR<br>SPI1_MISO<br>I2S1_SDI<br>KBCU_ROW4_B                                                                       | —      |
| 55     | 39           | PB03 | I/O | SPI1_SCK<br>I2S1_CK<br>GP32C4T1_CH2<br>GP16C2T2_CH2<br>AD16C4T1_CH3N<br>SPI1_NSS<br>I2S1_WS<br>WKUP3<br>KBCU_KEY3                                   | —      |
| 56     | 40           | PB04 | I/O | SPI1_MISO<br>I2S1_SDI<br>GP16C4T2_CH1<br>GP16C2T3_BKIN<br>AD16C4T1_CH2N<br>SPI1_MOSI<br>I2S1_SDO<br>WKUP4<br>KBCU_KEY4                              | —      |
| 57     | 41           | PB05 | I/O | SPI1_MOSI<br>I2S1_SDO<br>I2C1_SMBA<br>GP16C4T2_CH2<br>GP16C4T3_CH1<br>GP16C2T2_BKIN<br>AD16C4T1_CH1N<br>SPI1_MISO<br>I2S1_SDI<br>WKUP5<br>KBCU_KEY5 | —      |
| 58     | 42           | PB06 | I/O | SPI3_MISO<br>I2C1_SCL<br>UART1_TX                                                                                                                   | —      |

| 引脚     |              | 引脚名称 | 类型  | 复用功能                                                                                                                   |        |
|--------|--------------|------|-----|------------------------------------------------------------------------------------------------------------------------|--------|
| LQFP64 | LQFP48/QFN48 |      |     | 数字复用功能                                                                                                                 | 模拟复用功能 |
|        |              |      |     | GP16C4T3_ETR<br>GP16C2T2_CH1N<br>AD16C4T1_CH3<br>SPI1_SCK<br>I2S1_CK<br>WKUP6<br>KBCU_KEY6                             |        |
| 59     | 43           | PB07 | I/O | SPI3_MOSI<br>I2C1_SDA<br>UART1_RX<br>UART4_CTS<br>GP16C4T3_CH2<br>GP16C2T3_CH1N<br>AD16C4T1_CH2<br>WKUP7<br>KBCU_COL17 | —      |
| 60     | 44           | PD03 | I/O | I2C1_SMBA<br>AD16C4T1_CH1<br>KBCU_COL16                                                                                | —      |
| 61     | 45           | PB08 | I/O | I2C1_SCL<br>IR_OUT<br>GP16C4T3_CH1<br>GP16C2T2_CH1<br>AD16C4T1_BKIN<br>KBCU_COL18                                      | —      |
| 62     | 46           | PB09 | I/O | SPI2_NSS<br>I2C1_SDA<br>IR_OUT<br>GP16C4T3_CH2<br>GP16C2T3_CH1<br>AD16C4T1_ETR<br>KBCU_COL19                           | —      |
| 63     | 47           | VSSH | G   | GROUND                                                                                                                 |        |
| 64     | 48           | VDDH | P   | POWER                                                                                                                  |        |

表 3-1 引脚定义

### 3.3 引脚定义说明

| 引脚名称      |               | 描述                                         |
|-----------|---------------|--------------------------------------------|
| 电源        | VDDH          | 数字与 IO 电源                                  |
|           | VSSH          | 数字与 IO 接地                                  |
|           | VDDA          | 模拟电源                                       |
|           | VSSA          | 模拟接地                                       |
|           | VDDUSB        | USB 电源输出                                   |
| 时钟        | HOSCI         | 外部高速振荡器时钟输入/外部高速时钟输入                       |
|           | HOSCO         | 外部高速振荡器时钟输出                                |
|           | LOSCI         | 外部低速振荡器时钟输入/外部低速时钟输入                       |
|           | LOSCO         | 外部低速振荡器时钟输出                                |
| 系统接口      | NRST          | 外部复位输入引脚                                   |
|           | SWCLK         | SWD 调试接口时钟                                 |
|           | SWDIO         | SWD 调试接口数据输入/输出                            |
|           | MCO           | 微控制器时钟输出                                   |
|           | WKUPy         | 低功耗外部唤醒输入(y=0~7)                           |
|           | RTC_OUT       | RTC 1Hz 时钟输出                               |
| 定时器       | AD16C4T1_CHy  | AD16C4T1 通道 y 输入/输出, (y=1,2,3,4)           |
|           | AD16C4T1_CHyN | AD16C4T1 通道 y 互补输出, (y=1,2,3)              |
|           | AD16C4T1_ETR  | AD16C4T1 外部触发输入                            |
|           | AD16C4T1_BKIN | AD16C4T1 刹车输入                              |
|           | GP32C4T1_CHy  | GP32C4T1 通道 y 输入/输出, (y=1,2,3,4)           |
|           | GP32C4T1_ETR  | GP32C4T1 外部触发输入                            |
|           | GP16C4Tx_CHy  | GP16C4Tx 通道 y 输入/输出, (x=1,2,3 ; y=1,2,3,4) |
|           | GP16C4Tx_ETR  | GP16C4Tx 外部触发输入                            |
|           | GP16C2Tx_CHy  | GP16C2Tx 通道 y 输入/输出, (x=1,2,3,4 ; y=1,2)   |
|           | GP16C2Tx_CHyN | GP16C2Tx 通道 y 互补输出, (x=1,2,3,4 ; y=1)      |
|           | GP16C2Tx_BKIN | GP16C2Tx 刹车输入, (x=1,2,3,4 ; y=1,2,3,4)     |
| 通信接口 I2C  | I2Cx_SMBA     | I2Cx SMBus 警示引脚, (x=1,2)                   |
|           | I2Cx_SCL      | I2Cx 串行时钟, (x=1,2)                         |
|           | I2Cx_SDA      | I2Cx 串行数据输入/输出, (x=1,2)                    |
| 通信接口 SPI  | SPIx_SCK      | SPIx 主模式时钟输出/从模式输入, (x=1,2,3)              |
|           | SPIx_MOSI     | SPIx 主模式数据输出/从模式数据输入, (x=1,2,3)            |
|           | SPIx_MISO     | SPIx 主模式数据输入/从模式数据输出, (x=1,2,3)            |
|           | SPIx_NSS      | SPIx 芯片选择, (x=1,2,3)                       |
| 通信接口 I2S  | I2S1_CK       | I2S1 串行时钟                                  |
|           | I2S1_WS       | I2S1 声道选择                                  |
|           | I2S1_SDI      | I2S1 串行数据输入                                |
|           | I2S1_SDO      | I2S1 串行数据输出                                |
|           | I2S1_MCLK     | I2S1 串行主时钟                                 |
| 通信接口 UART | UARTx_TX      | UARTx 数据传送, (x=1,2,3,4)                    |
|           | UARTx_RX      | UARTx 数据接收, (x=1,2,3,4)                    |
|           | UARTx_CTS     | UARTx 传送允许, (x=1,2,3,4)                    |
|           | UARTx_RTS     | UARTx 传送请求, (x=1,2,3,4)                    |
|           | UARTx_CK      | UARTx 智能卡模式时钟输出, (x=1,2)                   |
|           | IR_OUT        | 红外线控制输出                                    |

| 引脚名称       |             | 描述                                  |
|------------|-------------|-------------------------------------|
| USB        | USB_CID     | USB 连接器 ID                          |
|            | USB_DP      | USB 接口 D+                           |
|            | USB_DM      | USB 接口 D-                           |
|            | CSU_SYNC    | CSU 同步信号输入                          |
| 键盘 KEY/LED | KBCU_KEYy   | KBCU KEYy 扫描输入, (y=0~6)             |
|            | KBCU_ROWy_R | KBCU ROWy 红色 LED PWM 输出, (y=0~6)    |
|            | KBCU_ROWy_G | KBCU ROWy 绿色 LED PWM 输出, (y=0~6)    |
|            | KBCU_ROWy_B | KBCU ROWy 蓝色 LED PWM 输出, (y=0~6)    |
|            | KBCU_COLy   | KBCU COLy 扫描输出, (y=0~23)            |
| 模拟         | ADINy       | ADC 通道 y 输入, (y=0~15)               |
|            | CMPx_INP    | CMPx 正端模拟输入, (x=1,2)                |
|            | CMPx_INNy   | CMPx 负端模拟输入 y, (x=1,2; y=n/a,4,5,6) |
|            | CMPx_OUT    | CMPx 比较器结果输出, (x=1,2)               |

表 3-2 引脚定义说明

### 3.4 引脚复用功能

#### ◆ 通用端口 PAxx 复用功能

| GPIO       | AF0  | AF1                   | AF2       | AF3          | AF4           | AF5          | AF6           | AF7           | AF8      | AF9        | ALT(A)      |                           |
|------------|------|-----------------------|-----------|--------------|---------------|--------------|---------------|---------------|----------|------------|-------------|---------------------------|
| GPIO PA 端口 | PA00 | SPI2_SCK              | —         | UART2_CTS    | GP32C4T1_CH1  | GP32C4T1_ETR | GP16C2T1_BKIN | UART4_TX      | CMP1_OUT | —          | KBCU_ROW0_R | ADIN0/CMP1_INN6           |
|            | PA01 | SPI2_NSS              | I2C2_SMBA | UART2 RTS    | GP32C4T1_CH2  | GP16C4T1_ETR | GP16C2T1_CH1N | UART4_RX      | —        | —          | KBCU_ROW0_G | ADIN1/CMP1_INP            |
|            | PA02 | SPI2_MOSI             | I2C2_SCL  | UART2_TX     | GP32C4T1_CH3  | GP16C4T1_CH1 | GP16C2T1_CH1  | —             | CMP2_OUT | —          | KBCU_ROW0_B | ADIN2/CMP2_INN6           |
|            | PA03 | SPI2_MISO             | I2C2_SDA  | UART2_RX     | GP32C4T1_CH4  | GP16C4T1_CH2 | GP16C2T1_CH2  | —             | —        | —          | KBCU_ROW1_R | ADIN3/CMP2_INP            |
|            | PA04 | SPI1_NSS<br>I2S1_WS   | —         | UART2_CK     | GP16C4T2_ETR  | GP16C4T1_CH1 | GP16C2T4_CH1  | —             | —        | —          | KBCU_ROW1_G | ADIN4/CMP1_INN4/CMP2_INN4 |
|            | PA05 | SPI1_SCK<br>I2S1_CK   | —         | GP32C4T1_ETR | GP16C4T2_CH3  | GP16C4T1_CH2 | GP16C2T2_CH1N | GP32C4T1_CH1  | —        | —          | KBCU_ROW1_B | ADIN5/CMP1_INN5/CMP2_INN5 |
|            | PA06 | SPI1_MISO<br>I2S1_SDI | —         | UART3_CTS    | GP16C4T2_CH1  | GP16C4T1_CH3 | GP16C2T2_CH1  | AD16C4T1_BKIN | CMP1_OUT | —          | KBCU_ROW2_R | ADIN6                     |
|            | PA07 | SPI1_MOSI<br>I2S1_SDO | —         | GP16C2T4_CH1 | GP16C4T2_CH2  | GP16C4T1_CH4 | GP16C2T3_CH1  | AD16C4T1_CH1N | CMP2_OUT | —          | KBCU_ROW2_G | ADIN7                     |
|            | PA08 | I2S1_MCK              | CSU_SYNC  | UART1_CK     | —             | —            | GP16C2T3_CH1  | AD16C4T1_CH1  | MCO      | —          | KBCU_ROW2_B | —                         |
|            | PA09 | —                     | —         | UART1_TX     | GP16C2T1_BKIN | —            | GP16C2T3_CH1N | AD16C4T1_CH2  | MCO      | —          | KBCU_ROW3_R | —                         |
|            | PA10 | —                     | USB_CID   | UART1_RX     | —             | —            | GP16C2T3_BKIN | AD16C4T1_CH3  | —        | —          | KBCU_ROW3_G | —                         |
|            | PA11 | SPI1_MISO<br>I2S1_SDI | —         | UART1_CTS    | —             | —            | —             | AD16C4T1_CH4  | CMP1_OUT | —          | —           | USB_DM                    |
|            | PA12 | SPI1_MOSI<br>I2S1_SDO | —         | UART1_RTS    | —             | —            | —             | AD16C4T1_ETR  | CMP2_OUT | —          | —           | USB_DP                    |
|            | PA13 | SWDIO                 | USB_CID   | IR_OUT       | —             | —            | GP16C2T3_CH2  | AD16C4T1_CH1  | —        | KBCU_COL22 | KBCU_COL20  | —                         |
|            | PA14 | SWCLK                 | —         | UART2_TX     | —             | —            | GP16C4T2_CH4  | AD16C4T1_BKIN | CMP1_OUT | KBCU_COL23 | KBCU_COL21  | —                         |
|            | PA15 | SPI1_NSS<br>I2S1_WS   | —         | UART2_RX     | GP32C4T1_ETR  | GP32C4T1_CH1 | GP16C4T2_CH3  | UART4_RTS     | CMP2_OUT | —          | KBCU_ROW3_B | —                         |

表 3-3 通用端口 PAxx 复用功能

◆ 通用端口 PB<sub>xx</sub> 复用功能

| I/O        | AF0  | AF1                   | AF2       | AF3       | AF4           | AF5           | AF6           | AF7           | AF8                   | AF9   | ALT(A)      |       |
|------------|------|-----------------------|-----------|-----------|---------------|---------------|---------------|---------------|-----------------------|-------|-------------|-------|
| GPIO PB 端口 | PB00 | UART1_TX              | —         | —         | GP16C4T2_CH3  | —             | GP16C2T1_BKIN | AD16C4T1_CH2N | —                     | WKUP0 | KBCU_KEY0   | ADIN8 |
|            | PB01 | UART1_RX              | —         | UART3_RTS | GP16C4T2_CH4  | GP16C2T4_CH1  | GP16C2T1_CH2  | AD16C4T1_CH3N | —                     | WKUP1 | KBCU_KEY1   | ADIN9 |
|            | PB02 | —                     | I2C2_SMBA | —         | GP16C4T3_CH3  | —             | GP16C2T1_CH1  | —             | —                     | WKUP2 | KBCU_KEY2   | —     |
|            | PB03 | SPI1_SCK<br>I2S1_CK   | —         | —         | —             | GP32C4T1_CH2  | GP16C2T2_CH2  | AD16C4T1_CH3N | SPI1_NSS<br>I2S1_WS   | WKUP3 | KBCU_KEY3   | —     |
|            | PB04 | SPI1_MISO<br>I2S1_SDI | —         | —         | GP16C4T2_CH1  | —             | GP16C2T3_BKIN | AD16C4T1_CH2N | SPI1_MOSI<br>I2S1_SDO | WKUP4 | KBCU_KEY4   | —     |
|            | PB05 | SPI1_MOSI<br>I2S1_SDO | I2C1_SMBA | —         | GP16C4T2_CH2  | GP16C4T3_CH1  | GP16C2T2_BKIN | AD16C4T1_CH1N | SPI1_MISO<br>I2S1_SDI | WKUP5 | KBCU_KEY5   | —     |
|            | PB06 | SPI3_MISO             | I2C1_SCL  | UART1_TX  | —             | GP16C4T3_ETR  | GP16C2T2_CH1N | AD16C4T1_CH3  | SPI1_SCK<br>I2S1_CK   | WKUP6 | KBCU_KEY6   | —     |
|            | PB07 | SPI3_MOSI             | I2C1_SDA  | UART1_RX  | UART4_CTS     | GP16C4T3_CH2  | GP16C2T3_CH1N | AD16C4T1_CH2  | —                     | WKUP7 | KBCU_COL17  | —     |
|            | PB08 | —                     | I2C1_SCL  | IR_OUT    | —             | GP16C4T3_CH1  | GP16C2T2_CH1  | AD16C4T1_BKIN | —                     | —     | KBCU_COL18  | —     |
|            | PB09 | SPI2_NSS              | I2C1_SDA  | IR_OUT    | —             | GP16C4T3_CH2  | GP16C2T3_CH1  | AD16C4T1_ETR  | —                     | —     | KBCU_COL19  | —     |
|            | PB10 | SPI2_SCK              | I2C2_SCL  | UART3_TX  | GP32C4T1_CH3  | GP16C4T3_CH4  | —             | AD16C4T1_CH4  | —                     | —     | KBCU_ROW5_R | —     |
|            | PB11 | —                     | I2C2_SDA  | UART3_RX  | GP32C4T1_CH4  | GP16C4T3_CH3  | —             | AD16C4T1_CH3  | —                     | —     | KBCU_ROW5_G | —     |
|            | PB12 | SPI2_NSS              | I2C2_SMBA | UART3_RTS | GP16C2T1_BKIN | GP16C2T3_CH1  | GP16C2T4_CH1  | AD16C4T1_BKIN | —                     | —     | KBCU_ROW5_B | —     |
|            | PB13 | SPI2_SCK              | I2C2_SCL  | UART3_CTS | GP16C4T1_CH1  | GP16C2T2_CH1  | GP16C2T4_CH1N | AD16C4T1_CH1N | —                     | —     | KBCU_ROW6_R | —     |
|            | PB14 | SPI2_MISO             | I2C2_SDA  | UART3_RTS | GP16C4T1_CH2  | GP16C2T1_CH1  | GP16C2T4_CH2  | AD16C4T1_CH2N | RTC_OUT               | —     | KBCU_ROW6_G | —     |
|            | PB15 | SPI2_MOSI             | —         | —         | GP16C2T1_CH2  | GP16C2T1_CH1N | GP16C2T4_BKIN | AD16C4T1_CH3N | USB_CID               | —     | KBCU_ROW6_B | —     |

表 3-4 通用端口 PB<sub>xx</sub> 复用功能

◆ 通用端口 PCxx 复用功能

| GPIO       | AF0  | AF1       | AF2      | AF3       | AF4          | AF5          | AF6          | AF7 | AF8                   | AF9        | ALT(A)     |
|------------|------|-----------|----------|-----------|--------------|--------------|--------------|-----|-----------------------|------------|------------|
| GPIO PC 端口 | PC00 | SPI2_SCK  | —        | UART4_TX  | GP16C4T3_CH1 | —            | —            | —   | —                     | KBCU_COL0  | ADIN10     |
|            | PC01 | SPI2 NSS  | —        | UART4_RX  | GP16C4T3_CH3 | —            | —            | —   | —                     | KBCU_COL1  | ADIN11     |
|            | PC02 | SPI2_MISO | —        | UART4_CTS | GP16C4T3_CH2 | —            | —            | —   | —                     | KBCU_COL2  | ADIN12     |
|            | PC03 | SPI2_MOSI | —        | UART4_RTS | GP16C4T3_ETR | GP32C4T1_ETR | —            | —   | —                     | KBCU_COL3  | ADIN13     |
|            | PC04 | —         | —        | UART3_TX  | —            | GP16C4T1_ETR | —            | —   | —                     | KBCU_COL4  | ADIN14     |
|            | PC05 | —         | —        | UART3_RX  | —            | —            | —            | —   | —                     | KBCU_COL5  | ADIN15     |
|            | PC06 | SPI3 NSS  | —        | UART3_TX  | GP16C4T2_CH1 | —            | —            | —   | —                     | KBCU_COL6  | —          |
|            | PC07 | SPI3_SCK  | —        | UART3_RX  | GP16C4T2_CH2 | —            | —            | —   | —                     | KBCU_COL7  | —          |
|            | PC08 | SPI3_MISO | —        | UART3_CTS | GP16C4T2_ETR | GP16C4T2_CH3 | —            | —   | —                     | KBCU_COL8  | —          |
|            | PC09 | SPI3_MOSI | —        | UART3_RTS | GP16C4T1_ETR | GP16C4T2_CH4 | GP16C2T3_CH2 | —   | —                     | KBCU_COL9  | —          |
|            | PC10 | SPI3 NSS  | UART4_TX | UART3_TX  | —            | —            | —            | —   | SPI1_SCK<br>I2S1 CK   | —          | KBCU_COL10 |
|            | PC11 | SPI3_SCK  | UART4_RX | UART3_RX  | —            | —            | —            | —   | SPI1_MOSI<br>I2S1_SDO | —          | KBCU_COL11 |
|            | PC12 | SPI3_MISO | I2C1_SCL | —         | —            | —            | —            | —   | SPI1_NSS<br>I2S1_WS   | —          | KBCU_COL12 |
|            | PC13 | —         | —        | —         | —            | —            | —            | —   | —                     | KBCU_COL13 | —          |
|            | PC14 | —         | —        | —         | —            | —            | —            | —   | —                     | KBCU_COL14 | LOSCI      |
|            | PC15 | —         | —        | —         | —            | —            | —            | —   | —                     | KBCU_COL15 | LOSCO      |

表 3-5 通用端口 PCxx 复用功能

◆ 通用端口 PD<sub>xx</sub> 复用功能

| GPIO       |      | AF0 | AF1       | AF2       | AF3 | AF4          | AF5          | AF6 | AF7                   | AF8        | AF9         | ALT(A) |
|------------|------|-----|-----------|-----------|-----|--------------|--------------|-----|-----------------------|------------|-------------|--------|
| GPIO PD 端口 | PD00 | —   | —         | —         | —   | GP16C4T1_CH3 | —            | —   | —                     | —          | KBCU_ROW4_R | —      |
|            | PD01 | —   | —         | —         | —   | GP16C4T1_CH4 | —            | —   | —                     | —          | KBCU_ROW4_G | —      |
|            | PD02 | —   | I2C1_SDA  | UART3_RTS | —   | —            | GP16C4T2_ETR | —   | SPI1_MISO<br>I2S1_SD1 | —          | KBCU_ROW4_B | —      |
|            | PD03 | —   | I2C1_SMBA | —         | —   | —            | AD16C4T1_CH1 | —   | —                     | —          | KBCU_COL16  | —      |
|            | PD14 | —   | —         | —         | —   | —            | —            | —   | —                     | KBCU_COL21 | KBCU_COL23  | HOSCI  |
|            | PD15 | —   | —         | —         | —   | —            | —            | —   | —                     | KBCU_COL20 | KBCU_COL22  | HOSCO  |

表 3-6 通用端口 PD<sub>xx</sub> 复用功能

## 第4章 存储器映射图

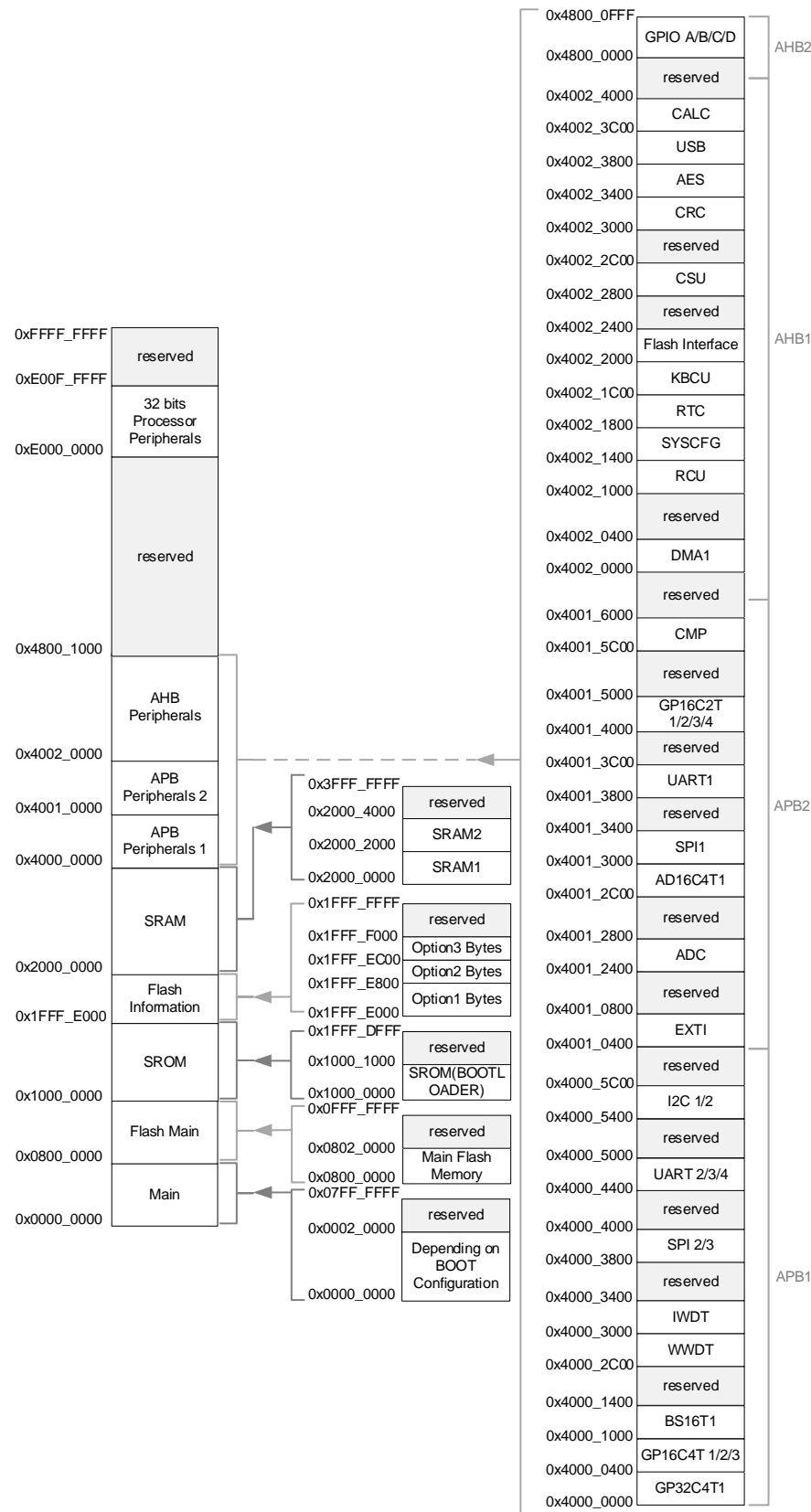


图 4-1 存储器映射

## 第5章 电气特性

### 5.1 参数条件

#### 5.1.1 最小值、最大值和典型值

最大值和最小值是在指定温度范围内测试器件，并在最差的条件下(包含环境温度、供电电压和时钟频率等)能够保证的数据。除非特别说明，典型值是基于温度  $T_A=25^{\circ}\text{C}$ ，电源电压  $V_{DDH} = V_{DDA} = 5\text{V}$ ( $1.8\text{V} \leq V_{DDH} \leq 5.5\text{V}$ )条件下所量测的电气数据。而部分未经测试的数据，仅提供设计理论值。

#### 5.1.2 芯片电源

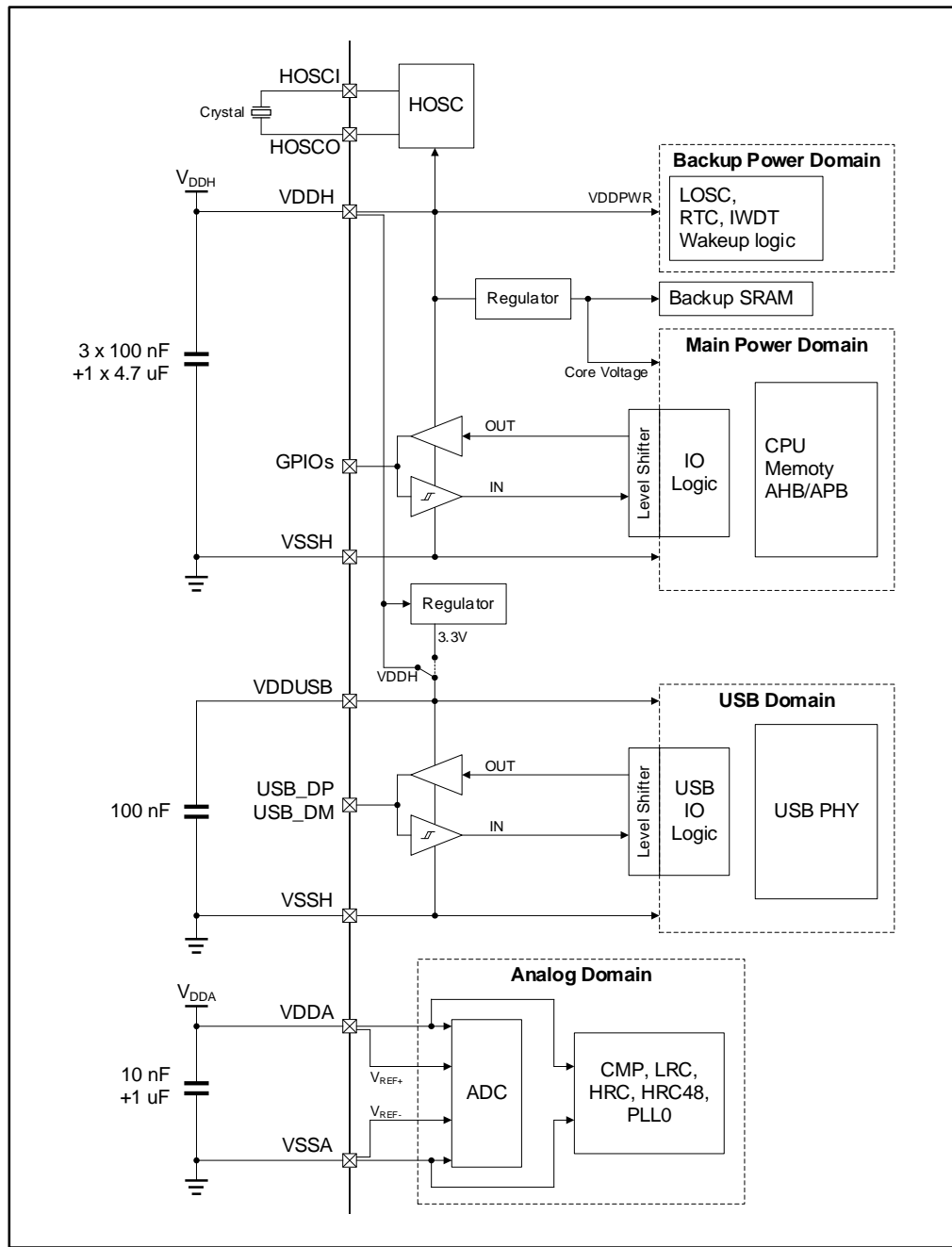


图 5-1 芯片电源

### 5.1.3 电流测量

在量测芯片电流时，可于 V<sub>DDH</sub> 引脚以及 V<sub>DD</sub> 电源之间串接电流计进行量测，接线方式如下图所示。进行量测前，须关闭外设并确保 GPIO 引脚未浮空，同时需移除量测板上所有负载，包括 LED、上拉以及下拉电阻等组件。

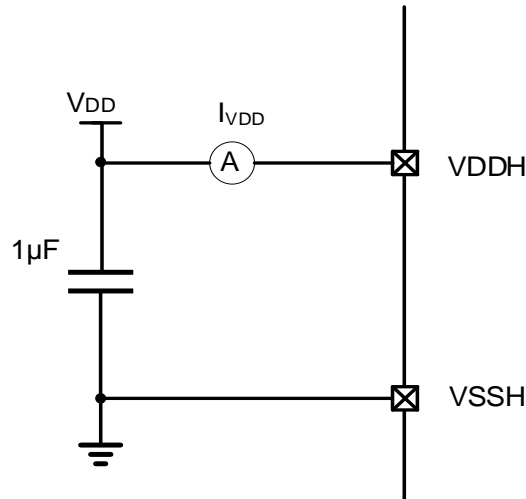


图 5-2 电流测量方式

## 5.2 绝对最大额定值

以下表格为芯片耐受的极限电气参数值，超过范围可能导致芯片永久性损坏。

### 5.2.1 电压额定参数

| 标号                 | 参数                                | 最小值   | 最大值          | 单位 |
|--------------------|-----------------------------------|-------|--------------|----|
| $V_{DD}$           | 外部电源电压(包括 $V_{DDH}$ , $V_{DDA}$ ) | - 0.3 | 7.5          | V  |
| $V_{IN}$           | 外部引脚输入电压                          | - 0.3 | $V_{DD}+0.3$ | V  |
| $ \Delta V_{DDX} $ | 各 $V_{DD}$ 电源引脚之间的电压差值            | -     | 50           | mV |
| $ \Delta V_{SSX} $ | 各 $V_{SS}$ 电源引脚之间的电压差值            | -     | 50           | mV |

表 5-1 电压额定参数

### 5.2.2 电流额定参数

| 标号        | 参数                           | 最小值 | 最大值 | 单位 |
|-----------|------------------------------|-----|-----|----|
| $I_{VDD}$ | $V_{DDH}$ 电源引脚, 最大输入电流       | -   | 200 | mA |
| $I_{VSS}$ | $V_{SSH}$ 接地引脚, 最大输出电流       | -   | 200 | mA |
| $I_{IO}$  | 所有 I/O 和控制引脚, 最大流出电流(source) | -   | 26  | mA |
|           | 所有 I/O 和控制引脚, 最大流入电流(sink)   | -   | 110 | mA |

表 5-2 电流额定参数

### 5.2.3 热参数

| 标号        | 参数     | 最小值  | 最大值 | 单位 |
|-----------|--------|------|-----|----|
| $T_{STG}$ | 储存温度范围 | - 55 | 125 | °C |
| $T_J$     | 最大结温   | -    | 125 | °C |

表 5-3 热参数

## 5.3 工作条件

### 5.3.1 通用工作条件

| 标号          | 参数              | 条件                     | 最小值       | 最大值 | 单位  |
|-------------|-----------------|------------------------|-----------|-----|-----|
| $f_{HCLK}$  | 内部 AHB 时钟频率     | -                      | -         | 72  | MHz |
| $f_{PCLK1}$ | 内部 APB1 时钟频率    | -                      | -         | 72  | MHz |
| $f_{PCLK2}$ | 内部 APB2 时钟频率    | -                      | -         | 72  | MHz |
| $V_{DDH}$   | 标准工作电压          | -                      | 1.8       | 5.5 | V   |
| $V_{DDA}$   | 模拟工作电压(未使用 ADC) | $V_{DDA} \geq V_{DDH}$ | $V_{DDH}$ | 5.5 | V   |
|             | 模拟工作电压(使用 ADC)  |                        | 2.4       | 5.5 |     |
| $T_A$       | 环境温度            | -                      | -40       | 85  | °C  |
| $T_J$       | 结温              | -                      | -         | 125 | °C  |

表 5-4 通用工作条件

### 5.3.2 上电及掉电特性参数

| 标号         | 参数             | 条件 | 最小值 | 最大值      | 单位        |
|------------|----------------|----|-----|----------|-----------|
| $t_{VDDH}$ | $V_{DDH}$ 上升速率 | -  | 0   | $\infty$ | $\mu s/V$ |
|            | $V_{DDH}$ 下降速率 | -  | 20  | $\infty$ |           |
| $t_{VDDA}$ | $V_{DDA}$ 上升速率 | -  | 0   | $\infty$ | $\mu s/V$ |
|            | $V_{DDA}$ 下降速率 | -  | 20  | $\infty$ |           |

表 5-5 上电及掉电特性条件

### 5.3.3 复位及电源检测模块特性参数

| 标号                | 参数                    | 条件        | 最小值  | 典型值  | 最大值  | 单位  |
|-------------------|-----------------------|-----------|------|------|------|-----|
| $V_{POR}/V_{PDR}$ | 上电/掉电复位阈值             | 下降沿       | 1.6  | 1.7  | 1.8  | V   |
|                   |                       | 上升沿       | 1.53 | 1.63 | 1.73 |     |
| $V_{PDRHYST}$     | PDR 迟滞                | -         | -    | 70   | -    | mV  |
| $T_{RSTTEMPO}$    | 复位延迟                  | -         | -    | 3.5  | -    | ms  |
| $V_{BOR}$         | 欠压复位阈值, 依据等级选择(BORLS) | BORLS=000 | 下降沿  | 1.9  | 2    | 2.1 |
|                   |                       |           | 上升沿  | 2.1  | 2.2  | 2.3 |
|                   |                       | BORLS=001 | 下降沿  | 2.2  | 2.3  | 2.4 |
|                   |                       |           | 上升沿  | 2.4  | 2.5  | 2.6 |
|                   |                       | BORLS=010 | 下降沿  | 2.5  | 2.6  | 2.7 |
|                   |                       |           | 上升沿  | 2.7  | 2.8  | 2.9 |
|                   |                       | BORLS=011 | 下降沿  | 2.8  | 2.9  | 3   |
|                   |                       |           | 上升沿  | 3    | 3.1  | 3.2 |
|                   |                       | BORLS=100 | 下降沿  | 3.1  | 3.2  | 3.3 |
|                   |                       |           | 上升沿  | 3.3  | 3.4  | 3.5 |
|                   |                       | BORLS=101 | 下降沿  | 3.4  | 3.5  | 3.6 |
|                   |                       |           | 上升沿  | 3.6  | 3.7  | 3.8 |

|               |                        |        |     |     |     |     |   |
|---------------|------------------------|--------|-----|-----|-----|-----|---|
|               |                        | BORLS= | 下降沿 | 3.7 | 3.8 | 3.9 |   |
|               |                        | 110    | 上升沿 | 3.9 | 4   | 4.1 |   |
|               |                        | BORLS= | 下降沿 | 4   | 4.1 | 4.2 |   |
|               |                        |        | 上升沿 | 4.2 | 4.3 | 4.4 |   |
| $V_{BORHYST}$ | BOR 迟滞                 | -      | -   | 200 | -   | mV  |   |
| $V_{LVD}$     | 低电压检测阈值, 依据等级选择(LVDLS) | LVDLS= | 下降沿 | 1.8 | 1.9 | 2   | V |
|               |                        | 0000   | 上升沿 | 1.9 | 2   | 2.1 |   |
|               |                        | LVDLS= | 下降沿 | 2   | 2.1 | 2.2 |   |
|               |                        |        | 上升沿 | 2.1 | 2.2 | 2.3 |   |
|               |                        | LVDLS= | 下降沿 | 2.2 | 2.3 | 2.4 |   |
|               |                        |        | 上升沿 | 2.3 | 2.4 | 2.5 |   |
|               |                        | LVDLS= | 下降沿 | 2.4 | 2.5 | 2.6 |   |
|               |                        |        | 上升沿 | 2.5 | 2.6 | 2.7 |   |
|               |                        | LVDLS= | 下降沿 | 2.6 | 2.7 | 2.8 |   |
|               |                        |        | 上升沿 | 2.7 | 2.8 | 2.9 |   |
|               |                        | LVDLS= | 下降沿 | 2.8 | 2.9 | 3   |   |
|               |                        |        | 上升沿 | 2.9 | 3   | 3.1 |   |
|               |                        | LVDLS= | 下降沿 | 3   | 3.1 | 3.2 |   |
|               |                        |        | 上升沿 | 3.1 | 3.2 | 3.3 |   |
|               |                        | LVDLS= | 下降沿 | 3.2 | 3.3 | 3.4 |   |
|               |                        |        | 上升沿 | 3.3 | 3.4 | 3.5 |   |
|               |                        | LVDLS= | 下降沿 | 3.4 | 3.5 | 3.6 |   |
|               |                        |        | 上升沿 | 3.5 | 3.6 | 3.7 |   |
|               |                        | LVDLS= | 下降沿 | 3.6 | 3.7 | 3.8 |   |
|               |                        |        | 上升沿 | 3.7 | 3.8 | 3.9 |   |
|               |                        | LVDLS= | 下降沿 | 3.8 | 3.9 | 4   |   |
|               |                        |        | 上升沿 | 3.9 | 4   | 4.1 |   |
|               |                        | LVDLS= | 下降沿 | 4   | 4.1 | 4.2 |   |
|               |                        |        | 上升沿 | 4.1 | 4.2 | 4.3 |   |
|               |                        | LVDLS= | 下降沿 | 4.2 | 4.3 | 4.4 |   |
|               |                        |        | 上升沿 | 4.3 | 4.4 | 4.5 |   |
|               |                        | LVDLS= | 下降沿 | 4.4 | 4.5 | 4.6 |   |
|               |                        |        | 上升沿 | 4.5 | 4.6 | 4.7 |   |
|               |                        | LVDLS= | 下降沿 | 4.6 | 4.7 | 4.8 |   |
|               |                        |        | 上升沿 | 4.7 | 4.8 | 4.9 |   |
|               |                        | LVDLS= | 下降沿 | 4.8 | 4.9 | 5   |   |
|               |                        |        | 上升沿 | 4.9 | 5   | 5.1 |   |
| $V_{LVDHYST}$ | LVD 迟滞                 | -      | -   | 100 | -   | mV  |   |

表 5-6 复位及电源检测模块特性参数

注: TA=+25°C, 此表格为设计理论值。

## 5.3.4 电流特性

### 5.3.4.1 正常模式电流特性参数

芯片消耗电流涉及到电源电压, 环境温度, 端口负载, 器件软件配置, 工作频率和模式等。

正常模式电流消耗, 依据以下配置条件量测:

- 所有 IO 处于输入状态(固定上拉), 无负载
- HOSC: 8MHz, 系统运行在 PLL0(来源为 HOSC)
- 运行 dhrystone 程序
- FLASH 访问周期, 根据系统频率改变
- 开启 FLASH 预取(Prefetch)访问功能
- 当外设使能时, 时钟配置为  $f_{PCLK1}=f_{HCLK}/2$ ,  $f_{PCLK2}=f_{HCLK}/2$
- 无特别说明情况下, 关闭其余时钟源(包含 HRC,HRC48,LRC,LOSC)

#### ◆ 正常模式电流, 程序运行在 FLASH

| 标号         | 参数     | 条件                                                | $f_{HCLK}$ | Wait | 典型值  | 单位 |
|------------|--------|---------------------------------------------------|------------|------|------|----|
| $I_{VDDH}$ | 正常模式电流 | 外部时钟 HOSC, 所有外设开启( $T_A=25^\circ C, V_{DDH}=5V$ ) | 72MHz      | 2    | 12.1 | mA |
|            |        |                                                   | 60MHz      | 2    | 10.4 |    |
|            |        |                                                   | 48MHz      | 1    | 9.1  |    |
|            |        |                                                   | 40MHz      | 1    | 8.0  |    |
|            |        |                                                   | 32MHz      | 1    | 6.8  |    |
|            |        |                                                   | 24MHz      | 0    | 6.1  |    |
|            |        |                                                   | 16MHz      | 0    | 4.7  |    |
|            |        |                                                   | 8MHz       | 0    | 3.5  |    |
|            |        | 外部时钟 HOSC, 所有外设关闭( $T_A=25^\circ C, V_{DDH}=5V$ ) | 4MHz       | 0    | 2.9  |    |
|            |        |                                                   | 72MHz      | 2    | 6.4  |    |
|            |        |                                                   | 60MHz      | 2    | 5.4  |    |
|            |        |                                                   | 48MHz      | 1    | 4.9  |    |
|            |        |                                                   | 40MHz      | 1    | 4.2  |    |
|            |        |                                                   | 32MHz      | 1    | 3.5  |    |
|            |        |                                                   | 24MHz      | 0    | 3.3  |    |
|            |        |                                                   | 16MHz      | 0    | 2.4  |    |
|            |        |                                                   | 8MHz       | 0    | 1.7  |    |
|            |        |                                                   | 4MHz       | 0    | 1.3  |    |

表 5-7 正常模式电流消耗, 程序运行在 Flash

◆ 正常模式电流，程序运行在 SRAM

| 标号                | 参数     | 条件                                               | f <sub>HCLK</sub> | Wait | 典型值  | 单位 |
|-------------------|--------|--------------------------------------------------|-------------------|------|------|----|
| I <sub>VDDH</sub> | 正常模式电流 | 外部时钟 HOSC，所有外设开启( $T_A=25^\circ C, V_{DDH}=5V$ ) | 72MHz             | 0    | 12.8 | mA |
|                   |        |                                                  | 60MHz             | 0    | 11.0 |    |
|                   |        |                                                  | 48MHz             | 0    | 9.2  |    |
|                   |        |                                                  | 40MHz             | 0    | 8.0  |    |
|                   |        |                                                  | 32MHz             | 0    | 6.7  |    |
|                   |        |                                                  | 24MHz             | 0    | 5.8  |    |
|                   |        |                                                  | 16MHz             | 0    | 4.5  |    |
|                   |        |                                                  | 8MHz              | 0    | 3.4  |    |
|                   |        |                                                  | 4MHz              | 0    | 2.8  |    |
|                   |        | 外部时钟 HOSC，所有外设关闭( $T_A=25^\circ C, V_{DDH}=5V$ ) | 72MHz             | 0    | 7.1  |    |
|                   |        |                                                  | 60MHz             | 0    | 6.0  |    |
|                   |        |                                                  | 48MHz             | 0    | 4.9  |    |
|                   |        |                                                  | 40MHz             | 0    | 4.2  |    |
|                   |        |                                                  | 32MHz             | 0    | 3.5  |    |
|                   |        |                                                  | 24MHz             | 0    | 3.0  |    |
|                   |        |                                                  | 16MHz             | 0    | 2.2  |    |
|                   |        |                                                  | 8MHz              | 0    | 1.6  |    |
|                   |        |                                                  | 4MHz              | 0    | 1.3  |    |

表 5-8 正常模式电流，程序运行在 SRAM

### 5.3.4.2 低功耗模式电流特性参数

#### ◆ SLEEP 模式电流

| 标号          | 参数         | 条件                                       | 典型值                    |      | 最大值 | 单位  |  |  |
|-------------|------------|------------------------------------------|------------------------|------|-----|-----|--|--|
|             |            |                                          | $T_A=25^\circ\text{C}$ |      |     |     |  |  |
|             |            |                                          | 1.8V                   | 3.3V |     |     |  |  |
| $I_{SLEEP}$ | SLEEP 模式电流 | 内部时钟 HRC, $f_{HCLK} = f_{PCLK}$ , 所有外设开启 | 580                    | 590  | 600 | 620 |  |  |
|             |            | 内部时钟 HRC, $f_{HCLK} = f_{PCLK}$ , 所有外设关闭 | 180                    | 190  | 200 | 260 |  |  |

表 5-9 SLEEP 模式电流

#### ◆ STOP 模式电流

| 标号         | 参数                                         | 条件                              | 典型值                    |      | 最大值  | 单位 |  |  |
|------------|--------------------------------------------|---------------------------------|------------------------|------|------|----|--|--|
|            |                                            |                                 | $T_A=25^\circ\text{C}$ |      |      |    |  |  |
|            |                                            |                                 | 1.8V                   | 3.3V |      |    |  |  |
| $I_{STOP}$ | STOP 模式电流<br>(主稳压器开启, Flash<br>进入 STOP 模式) | RTC(LOSC) ON,<br>IWDT(LRC) ON   | 22.5                   | 25.5 | 35.5 | 44 |  |  |
|            |                                            | RTC(LOSC) ON,<br>IWDT(LRC) OFF  | 22                     | 25   | 35   | 43 |  |  |
|            |                                            | RTC(LOSC) OFF,<br>IWDT(LRC) ON  | 21.5                   | 24.5 | 34.5 | 42 |  |  |
|            |                                            | RTC(LOSC) OFF,<br>IWDT(LRC) OFF | 21                     | 24   | 34   | 41 |  |  |

表 5-10 STOP 模式电流

#### ◆ STANDBY0 模式电流

| 标号             | 参数                                       | 条件                              | 典型值                    |      | 最大值 | 单位  |  |  |
|----------------|------------------------------------------|---------------------------------|------------------------|------|-----|-----|--|--|
|                |                                          |                                 | $T_A=25^\circ\text{C}$ |      |     |     |  |  |
|                |                                          |                                 | 1.8V                   | 3.3V |     |     |  |  |
| $I_{STANDBY0}$ | STANDBY0 模式电流<br>(主稳压器关闭, SRAM1<br>数据保持) | RTC(LOSC) ON,<br>IWDT(LRC) ON   | 1.9                    | 2.7  | 3.8 | 5.2 |  |  |
|                |                                          | RTC(LOSC) ON,<br>IWDT(LRC) OFF  | 1.6                    | 2.1  | 3.0 | 4.2 |  |  |
|                |                                          | RTC(LOSC) OFF,<br>IWDT(LRC) ON  | 1.1                    | 1.4  | 2.0 | 2.9 |  |  |
|                |                                          | RTC(LOSC) OFF,<br>IWDT(LRC) OFF | 0.75                   | 0.9  | 1.1 | 2.0 |  |  |

表 5-11 STANDBY0 模式电流

◆ STANDBY1 模式电流

| 标号             | 参数                         | 条件                              | 典型值              |      | 最大值              | 单位  |         |
|----------------|----------------------------|---------------------------------|------------------|------|------------------|-----|---------|
|                |                            |                                 | $T_A=25^\circ C$ |      | $T_A=85^\circ C$ |     |         |
|                |                            |                                 | 1.8V             | 3.3V | 5.0V             |     |         |
| $I_{STANDBY1}$ | STANDBY1 模式电流<br>(所有稳压器关闭) | RTC(LOSC) ON,<br>IWDT(LRC) ON   | 1.8              | 2.5  | 3.6              | 4.5 | $\mu A$ |
|                |                            | RTC(LOSC) ON,<br>IWDT(LRC) OFF  | 1.5              | 2.0  | 2.75             | 3.6 | $\mu A$ |
|                |                            | RTC(LOSC) OFF,<br>IWDT(LRC) ON  | 0.9              | 1.3  | 1.85             | 2.3 | $\mu A$ |
|                |                            | RTC(LOSC) OFF,<br>IWDT(LRC) OFF | 0.6              | 0.75 | 1.0              | 1.4 | $\mu A$ |

表 5-12 STANDBY1 模式电流

◆ SHUTDOWN 模式电流

| 标号             | 参数                                        | 条件                              | 典型值              |      | 最大值              | 单位   |    |
|----------------|-------------------------------------------|---------------------------------|------------------|------|------------------|------|----|
|                |                                           |                                 | $T_A=25^\circ C$ |      | $T_A=85^\circ C$ |      |    |
|                |                                           |                                 | 1.8V             | 3.3V | 5.0V             |      |    |
| $I_{SHUTDOWN}$ | SHUTDOWN 模式电流<br>(所有稳压器关闭,<br>Bandgap 关闭) | RTC(LOSC) ON,<br>IWDT(LRC) ON   | 1200             | 1800 | 2800             | 3500 | nA |
|                |                                           | RTC(LOSC) ON,<br>IWDT(LRC) OFF  | 900              | 1200 | 1900             | 2600 | nA |
|                |                                           | RTC(LOSC) OFF,<br>IWDT(LRC) ON  | 330              | 600  | 1000             | 1300 | nA |
|                |                                           | RTC(LOSC) OFF,<br>IWDT(LRC) OFF | 5                | 10   | 20               | 410  | nA |

表 5-13 SHUTDOWN 模式电流

### 5.3.5 低功耗模式转换特性参数

◆ 低功耗模式唤醒时间

| 标号             | 参数              | 条件               | 最小值 | 典型值 | 最大值 | 单位      |
|----------------|-----------------|------------------|-----|-----|-----|---------|
| $t_{SLEEP}$    | SLEEP 模式唤醒时间    | $f_{HCLK}=24MHz$ | -   | 2.0 | -   | $\mu s$ |
| $t_{STOP}$     | STOP 模式唤醒时间     | $f_{HCLK}=24MHz$ | -   | 350 | -   | $\mu s$ |
| $t_{STANDBY0}$ | STANDBY0 模式唤醒时间 | $f_{HCLK}=4MHz$  | -   | 1.4 | -   | ms      |
| $t_{STANDBY1}$ | STANDBY1 模式唤醒时间 | $f_{HCLK}=4MHz$  | -   | 1.4 | -   | ms      |
| $t_{SHUTDOWN}$ | SHUTDOWN 模式唤醒时间 | $f_{HCLK}=4MHz$  | -   | 2.0 | -   | ms      |

表 5-14 低功耗模式唤醒时间

### 5.3.6 外部时钟源特性参数

#### ◆ 外部输入高速时钟

| 标号                  | 参数              | 条件                                 | 最小值                  | 典型值  | 最大值                  | 单位      |
|---------------------|-----------------|------------------------------------|----------------------|------|----------------------|---------|
| $f_{HOSC}$          | HOSCI 输入时钟频率    | -                                  | 1                    | -    | 32                   | MHz     |
| $V_{HOSC\_HIGH}$    | HOSCI 输入引脚高电平电压 | -                                  | $0.7^*$<br>$V_{DDH}$ | -    | $V_{DDH}$            | V       |
| $V_{HOSC\_LOW}$     | HOSCI 输入引脚低电平电压 | -                                  | $V_{SSH}$            | -    | $0.3^*$<br>$V_{DDH}$ | V       |
| $t_{WIDTH(HOSC)}$   | HOSCI 高电平或低电平时间 | 8MHz                               | -                    | 62.5 | -                    | ns      |
| $C_{in(HOSC)}$      | HOSCI 输入电容      | 8MHz                               | -                    | 5    | -                    | pF      |
| $DUTY_{HOSC}$       | HOSCI 输入时钟占空比   | -                                  | 40                   | -    | 60                   | %       |
| $I_{LEAKAGE\_HOSC}$ | HOSCI 输入漏电流     | $V_{SSH} \leq V_{IN} \leq V_{DDH}$ | -                    | -    | 1                    | $\mu A$ |

表 5-15 外部输入高速时钟特性参数

#### ◆ 外部输入低速时钟

| 标号                  | 参数                | 条件                                 | 最小值                  | 典型值    | 最大值                  | 单位      |
|---------------------|-------------------|------------------------------------|----------------------|--------|----------------------|---------|
| $f_{LOSC}$          | LOSCI 输入时钟频率      | -                                  | -                    | 32.768 | -                    | kHz     |
| $V_{LOSC\_HIGH}$    | LOSCI 输入引脚时钟高电平电压 | -                                  | $0.7^*$<br>$V_{DDH}$ | -      | $V_{DDH}$            | V       |
| $V_{LOSC\_LOW}$     | LOSCI 输入引脚时钟低电平电压 | -                                  | $V_{SSH}$            | -      | $0.3^*$<br>$V_{DDH}$ | V       |
| $t_{WIDTH(HOSC)}$   | LOSCI 高电平或低电平时间   | -                                  | 12.2                 | -      | 18.3                 | $\mu s$ |
| $C_{in(LOSC)}$      | LOSCI 输入电容        | -                                  | -                    | 5      | -                    | pF      |
| $DUTY_{LOSC}$       | LOSCI 输入时钟占空比     | -                                  | 40                   | -      | 60                   | %       |
| $I_{LEAKAGE\_LOSC}$ | LOSCI 输入漏电流       | $V_{SSH} \leq V_{IN} \leq V_{DDH}$ | -                    | -      | 1                    | $\mu A$ |

表 5-16 外部输入低速时钟特性参数

◆ 外部高速振荡时钟(晶体/陶瓷谐振器)

外部高速振荡时钟(HOSC)可从 4MHz 到 32MHz 范围的晶体或陶瓷振荡器产生。在应用中，谐振器和负载电容器必须尽可能靠近振荡器引脚放置，以最大限度地减少输出失真和启动稳定时间。谐振器特性(频率、封装、精度)详细信息，请咨询谐振器制造商。

| 标号                      | 参数        | 条件                                                       | 最小值 | 典型值 | 最大值 | 单位   |
|-------------------------|-----------|----------------------------------------------------------|-----|-----|-----|------|
| $f_{HOSC}$              | 振荡器频率     | -                                                        | 4   | 8   | 32  | MHz  |
| $R_F$                   | 反馈电阻      | -                                                        | -   | 200 | -   | kΩ   |
| $C_{L1}, C_{L2}^{(1)}$  | 外部陶瓷电容    | $ESR \leq 60, 8MHz$                                      | 5   | -   | 25  | pF   |
| $g_m$                   | 振荡器跨导     | 启动                                                       | -   | 8.9 | -   | mA/V |
| $t_{START(HOSC)}^{(2)}$ | HOSC 启动时间 | $V_{DDH} = 5V, 8MHz$                                     | -   | 3.5 | -   | ms   |
| $I_{DD}$                | HOSC 消耗电流 | $V_{DDH} = 5V, V_{IN} = V_{SSH}, C_{L1} = C_{L2} = 22pF$ | -   | 450 | -   | μA   |

表 5-17 HOSC 振荡器特性参数

注:

1.  $C_{L1}$  和  $C_{L2}$  选用，建议使用专为高频应用而设计，并可满足晶振或谐振器要求，大小介于 5 pF 至 25 pF(典型值)之间的高质量外部陶瓷电容器。 $C_{L1}$  和  $C_{L2}$  通常大小相同。
2.  $t_{START}$  是从启用(通过软件开启 HOSC)到稳定 8 MHz 振荡时的启动时间。该值是基于标准晶体谐振器测得的，可能因晶体制造商不同而有差异。

下图为外部高速振荡器的典型应用连接:

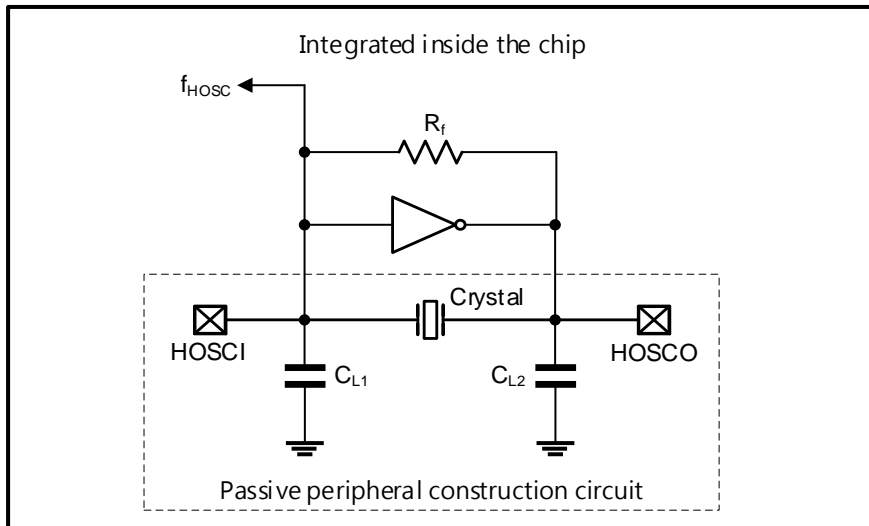


图 5-3 外部高速时钟晶振或陶瓷应用电路

◆ 外部低速振荡时钟(晶体/陶瓷谐振器)

外部低速振荡时钟(LOSC)可从 32.768 kHz 晶体或陶瓷振荡器提供。在应用中，谐振器和负载电容器必须尽可能靠近振荡器引脚放置，以最大限度地减少输出失真和启动稳定时间。

| 标号                             | 参数        | 条件                                                  | 最小值 | 典型值    | 最大值 | 单位   |
|--------------------------------|-----------|-----------------------------------------------------|-----|--------|-----|------|
| $f_{\text{LOSC}}$              | 振荡器频率     | -                                                   | -   | 32.768 | -   | kHz  |
| $R_F$                          | 反馈电阻      | -                                                   | -   | 4,000  | -   | kΩ   |
| $g_m$                          | 振荡器跨导     | 启动                                                  | -   | 4.5    | -   | μA/V |
| $t_{\text{START(LOSC)}}^{(1)}$ | LOSC 启动时间 | $V_{\text{DDH}}=5\text{V}$ , $T_A=25^\circ\text{C}$ | -   | -      | 1   | s    |
| $I_{\text{DD}}$                | LOSC 消耗电流 | -                                                   | -   | 1.6    | -   | μA   |

表 5-18 LOSC 振荡器特性参数

注:

1.  $t_{\text{START}}$  是从启用(通过软件开启 LOSC)到稳定 32.768 kHz 振荡时测量的启动时间。该值是基于标准晶体谐振器测得的，可能因晶体制造商不同而有差异。

下图为外部低速振荡器的典型应用连接:

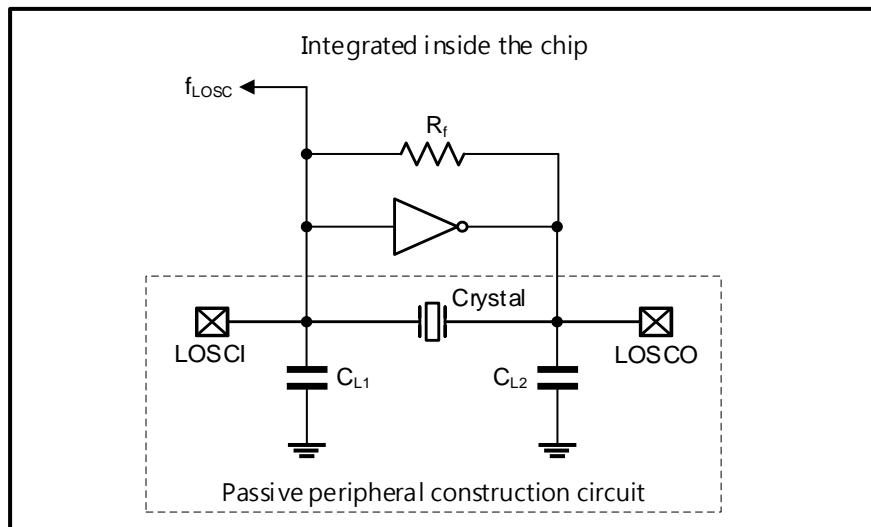


图 5-4 外部低速时钟晶振或陶瓷应用电路

### 5.3.7 内部时钟源特性参数

#### ◆ 内部高速 4M RC 振荡器

| 标号               | 参数       | 条件                                 | 最小值  | 典型值 | 最大值  | 单位      |
|------------------|----------|------------------------------------|------|-----|------|---------|
| $f_{HRC}$        | 频率       | $V_{DDH}=5V, T_A=25^\circ C$       | 3.98 | 4   | 4.04 | MHz     |
| $ACC_{HRC}$      | HRC 精准度  | $T_A = 25^\circ C$                 | -0.5 | -   | 1.0  | %       |
|                  |          | $T_A = 0 \text{ to } 70^\circ C$   | -1.5 | -   | 2.5  | %       |
|                  |          | $T_A = -40 \text{ to } 85^\circ C$ | -4.4 | -   | 2.8  | %       |
| $t_{START(HRC)}$ | HRC 启动时间 | -                                  | -    | 8   | -    | $\mu s$ |
| $I_{DD}$         | HRC 消耗电流 | -                                  | -    | 45  | -    | $\mu A$ |

表 5-19 内部高速 4M RC 振荡器特性参数

#### ◆ 内部高速 48M RC 振荡器

| 标号                 | 参数         | 条件                                 | 最小值  | 典型值 | 最大值  | 单位      |
|--------------------|------------|------------------------------------|------|-----|------|---------|
| $f_{HRC48}$        | 频率         | $V_{DDH}=5V, T_A=25^\circ C$       | 47.8 | 48  | 48.2 | MHz     |
| $ACC_{HRC48}$      | HRC48 精准度  | $T_A = 25^\circ C$                 | -0.5 | -   | 0.6  | %       |
|                    |            | $T_A = 0 \text{ to } 70^\circ C$   | -2.0 | -   | 3.0  | %       |
|                    |            | $T_A = -40 \text{ to } 85^\circ C$ | -5.5 | -   | 4.0  | %       |
| $t_{START(HRC48)}$ | HRC48 启动时间 | -                                  | -    | 7   | -    | $\mu s$ |
| $I_{DD}$           | HRC48 消耗电流 | -                                  | -    | 350 | -    | $\mu A$ |

表 5-20 内部高速 48M RC 振荡器特性参数

#### ◆ 内部低速 RC 振荡器

| 标号               | 参数       | 条件                                 | 最小值  | 典型值   | 最大值 | 单位      |
|------------------|----------|------------------------------------|------|-------|-----|---------|
| $f_{LRC}$        | 频率       | $V_{DDH}=5V, T_A=25^\circ C$       | -    | 32.76 | -   | KHz     |
| $ACC_{LRC}$      | LRC 精准度  | $T_A = -40 \text{ to } 85^\circ C$ | -6.0 | -     | 4.0 | %       |
| $t_{START(LRC)}$ | LRC 启动时间 | -                                  | -    | 270   | -   | $\mu s$ |
| $I_{DD}$         | LRC 消耗电流 | -                                  | -    | 0.8   | -   | $\mu A$ |

表 5-21 内部低速 RC 振荡器特性参数

### 5.3.8 小数分频锁相环PLL特性参数

| 标号                     | 参数            | 条件                     | 最小值 | 典型值   | 最大值 | 单位      |
|------------------------|---------------|------------------------|-----|-------|-----|---------|
| $f_{PLL\_IN}$          | PLL 输入时钟频率    | -                      | 3   | 4     | 16  | MHz     |
| $f_{PLL\_OUT}$         | PLL 倍频器输出时钟频率 | -                      | 4   | -     | 72  | MHz     |
| $f_{VCO\_OUT}$         | PLL VCO 输出频率  | -                      | 256 | -     | 576 | MHz     |
| $t_{LOCK}^{(1)}$       | PLL 锁定时间      | VCO freq = 576 MHz     | 15  | -     | 25  | $\mu s$ |
| $t_{START(PLL)}^{(1)}$ | PLL 启动时间      | VCO freq = 256 MHz     | 40  | -     | 50  | $\mu s$ |
|                        |               | VCO freq = 576 MHz     | 40  | -     | 60  |         |
| Jitter                 | PLL 周期抖动      | RMS                    | -   | 341.5 | -   | ps      |
|                        |               | peak to peak           | -   | 1.36  | -   | ns      |
| $I_{DD}$               | PLL 功耗        | $f_{PLL\_OUT} = 72MHz$ | -   | -     | 1   | mA      |

表 5-22 小数分频锁相环 PLL 特性参数

注:

1. 此数值为设计理论值。

### 5.3.9 FLASH存储器特性参数

| 标号          | 参数       | 条件                                  | 最小值    | 典型值 | 最大值 | 单位      |
|-------------|----------|-------------------------------------|--------|-----|-----|---------|
| $t_{PROG}$  | 32 位编程时间 | -                                   | -      | 25  | -   | $\mu s$ |
| $t_{ERASE}$ | 页擦除时间    | 页(page) = 512B                      | -      | 2   | -   | ms      |
|             | 扇区擦除时间   | 扇区(sector)= 2KB(4 page)             | -      | 2   | -   | ms      |
| $t_{ME}$    | 全擦除时间    | RP=level 0,<br>WP/UCRP 关闭           | -      | 8   | -   | ms      |
|             |          | RP=level 0,<br>WP/UCRP 使能           | 2      | -   | 126 | ms      |
| $I_{DD}$    | 电源电流     | 写模式                                 | -      | 1   | -   | mA      |
|             |          | 擦除模式                                | -      | 1   | -   | mA      |
|             |          | Flash STANDBY 模式                    | -      | 30  | -   | $\mu A$ |
|             |          | Flash STOP 模式                       | -      | 10  | -   | $\mu A$ |
| $V_{PROG}$  | 编程电压     | -                                   | -      | -   | 10  | V       |
| $N_{END}$   | 擦除/编程次数  | $T_A = -40 \text{ to } +85^\circ C$ | 100000 | -   | -   | Cycles  |
| $t_{RET}$   | 数据保持时间   | $T_A = -40 \text{ to } +85^\circ C$ | 10     | -   | -   | Years   |

表 5-23 FLASH 存储器特性参数

### 5.3.10 EMC电磁兼容性

#### 5.3.10.1 EMS电磁耐受性

| 标号         | 参数                       | 测试条件                                                                                                                             | 等级 |
|------------|--------------------------|----------------------------------------------------------------------------------------------------------------------------------|----|
| $V_{FESD}$ | 施加在任意 IO 引脚并导致功能性故障的极限电压 | $V_{DDH}=5V$ , LQFP64, $T_A=25^\circ C$ , $f_{HCLK}=24MHz$ , 每个 $V_{DDH}$ 只外加一个 100nF/0603 电容, 关闭 IWDT 复位功能, 遵循标准 IEC 61000-4-2。 | A  |
| $V_{EFT}$  | 电源快速瞬变耐受性测试的极限电压         | $V_{DDH}=5V$ , LQFP64, $T_A=25^\circ C$ , $f_{HCLK}=24MHz$ , 每个 $V_{DDH}$ 只外加一个 100nF/0603 电容, 关闭 IWDT 复位功能, 遵循标准 IEC 61000-4-4。 | A  |

表 5-24 EMS 电磁耐受性

### 5.3.11 静电防护能力测试

#### 5.3.11.1 静电放电(ESD)

| 标号             | 参数                 | 测试条件                                              | 等级       | 典型值  | 单位 |
|----------------|--------------------|---------------------------------------------------|----------|------|----|
| $V_{ESD(HBM)}$ | 静电释放电压<br>(人体模型)   | $T_A = 25^\circ C$ , 遵循标准 JEDEC EIA/JESD22-A114-B | Class 3A | 4000 | V  |
| $V_{ESD(CDM)}$ | 静电释放电压<br>(充电装置模型) | $T_A = 25^\circ C$ , 遵循标准 JEDEC EIA/JESD22-C101-F | Class C3 | 2000 | V  |

表 5-25 静电放电最大额定值

#### 5.3.11.2 静态闩锁(LatchUp)

| 标号 | 参数     | 测试条件                                           | 等级               |
|----|--------|------------------------------------------------|------------------|
| LU | 静态闩锁等级 | $T_A=25^\circ C$ , 遵循标准 JEDEC STANDARD JESD78E | Class I, Level A |

表 5-26 静态闩锁最大额定值

### 5.3.12 IO端口特性参数

#### ◆ IO 端口 DC 特性

| 标号             | 参数                            | 条件                                                          | 最小值                  | 典型值 | 最大值                  | 单位 |
|----------------|-------------------------------|-------------------------------------------------------------|----------------------|-----|----------------------|----|
| $V_{IL}$       | I/O 输入低电平电压(CMOS)             | $T_A = -40 \text{ to } +85^\circ\text{C}$<br>$V_{DDH} = 5V$ | -                    | -   | $0.3^*$<br>$V_{DDH}$ | V  |
|                | I/O 输入低电平电压(TTL)              |                                                             | -                    | -   | 0.8                  | V  |
| $V_{IH}$       | I/O 输入高电平电压(CMOS)             |                                                             | $0.7^*$<br>$V_{DDH}$ | -   | -                    | V  |
|                | I/O 输入高电平电压(TTL)              |                                                             | 2                    | -   | -                    | V  |
| $I_{IOLEAK}$   | I/O 输入漏电流                     | $V_{SSH} \leq V_{IN} \leq V_{DDH}$                          | -                    | -   | 400                  | pA |
| $R_{PU}$       | 内部上拉电阻。所有引脚均为 GPIO 模式(USB 关闭) | $V_{IN} = V_{SSH}$                                          | -                    | 50  | -                    | kΩ |
| $R_{PD}$       | 内部下拉电阻。所有引脚均为 GPIO 模式(USB 关闭) | $V_{IN} = V_{DDH}$                                          | -                    | 50  | -                    | kΩ |
| $t_{IOGLITCH}$ | I/O 输入脉冲滤波宽度(脉冲滤除 FIR=1)      | -                                                           | -                    | 20  | -                    | ns |
| $V_{OL(DS0)}$  | I/O 输出低电平电压<br>(驱动模式 DS=0)    | $ I_{IO}  = 25 \text{ mA}, V_{DDH} \geq 4$                  | -                    | -   | 0.4                  | V  |
| $V_{OH(DS0)}$  | I/O 输出高电平电压<br>(驱动模式 DS=0)    |                                                             | $V_{DDH} - 0.4$      | -   | -                    | V  |
| $V_{OL(DS1)}$  | I/O 输出低电平电压<br>(驱动模式 DS=1)    | $ I_{IO}  = 40 \text{ mA}, V_{DDH} \geq 4$                  | -                    | -   | 0.4                  | V  |
| $V_{OH(DS1)}$  | I/O 输出高电平电压<br>(驱动模式 DS=1)    |                                                             | $V_{DDH} - 0.4$      | -   | -                    | V  |
| $V_{OL(DS1)}$  | I/O 输出低电平电压<br>(驱动模式 DS=1)    | $ I_{IO}  = 160 \text{ mA}, V_{DDH} \geq 4$                 | -                    | -   | 2.4                  | V  |
| $V_{OH(DS1)}$  | I/O 输出高电平电压<br>(驱动模式 DS=1)    | $ I_{IO}  = 65 \text{ mA}, V_{DDH} \geq 4$                  | $V_{DDH} - 2.4$      | -   | -                    | V  |

表 5-27 IO 端口 DC 特性参数

◆ IO 端口 AC 特性

| 标号               | 参数                 | 条件                                                        | 最小值 | 典型值 | 最大值 | 单位  |
|------------------|--------------------|-----------------------------------------------------------|-----|-----|-----|-----|
| $t_{IOOUT\_MAX}$ | 最大输出频率             | $C_L = 50 \text{ pF}, V_{DDH} > 2 \text{ V},$<br>$(DS=0)$ | —   | —   | 56  | MHz |
|                  |                    | $C_L = 50 \text{ pF}, V_{DDH} > 2 \text{ V},$<br>$(DS=1)$ | —   | —   | 72  | MHz |
| $t_{IOFALL}$     | 输出高电平到低电平下降时间      | $C_L = 50 \text{ pF}, V_{DDH} > 2 \text{ V},$<br>$(DS=0)$ | —   | —   | 4   | ns  |
|                  |                    | $C_L = 50 \text{ pF}, V_{DDH} > 2 \text{ V},$<br>$(DS=1)$ | —   | —   | 3.7 | ns  |
| $t_{IORISE}$     | 输出低电平到高电平上升时间      | $C_L = 50 \text{ pF}, V_{DDH} > 2 \text{ V},$<br>$(DS=0)$ | —   | —   | 7   | ns  |
|                  |                    | $C_L = 50 \text{ pF}, V_{DDH} > 2 \text{ V},$<br>$DS=1$   | —   | —   | 4.2 | ns  |
| $t_{IOPULSE}$    | EXTI 控制器检测到的外部信号脉宽 | $f_{HCLK}=48\text{MHz}$                                   | 42  | —   | —   | ns  |

表 5-28 IO 端口 AC 特性参数

### 5.3.12.1 I/O输出电流 (驱动模式DS=0)

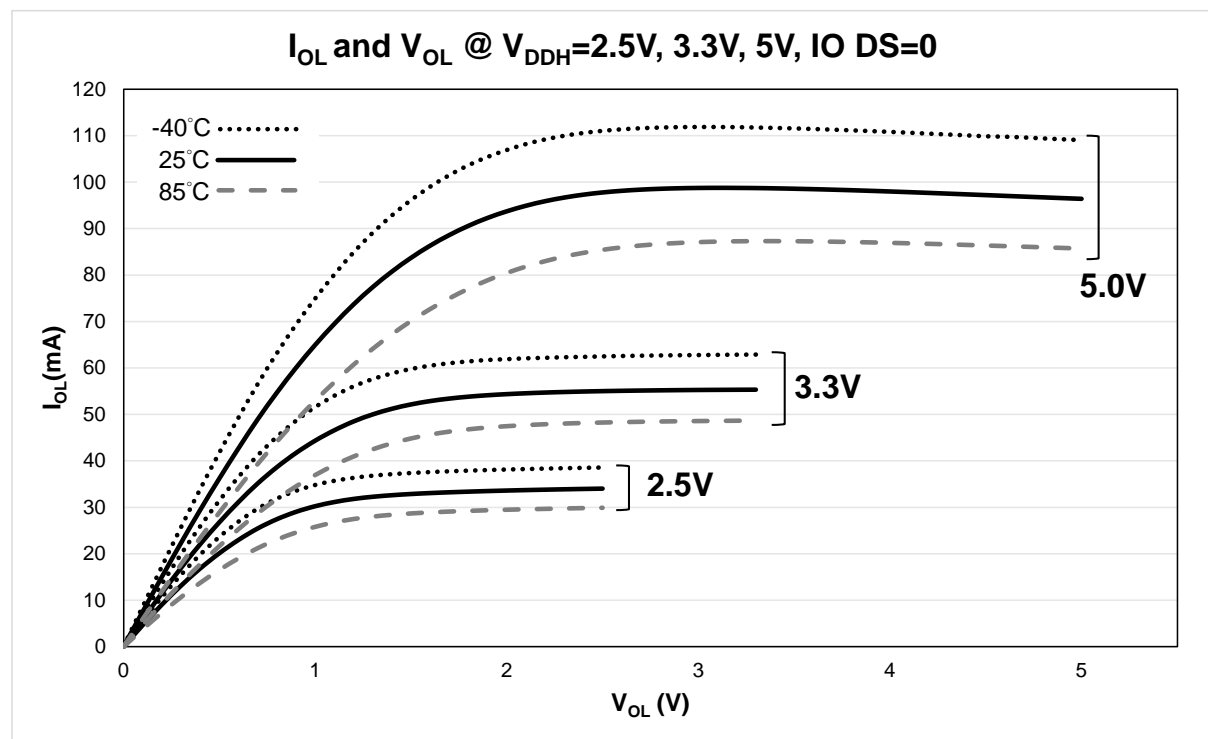


图 5-5  $I_{OL}, V_{OL}$ , @ $V_{DDH}=2.5V, 3.3V, 5V, DS=0$

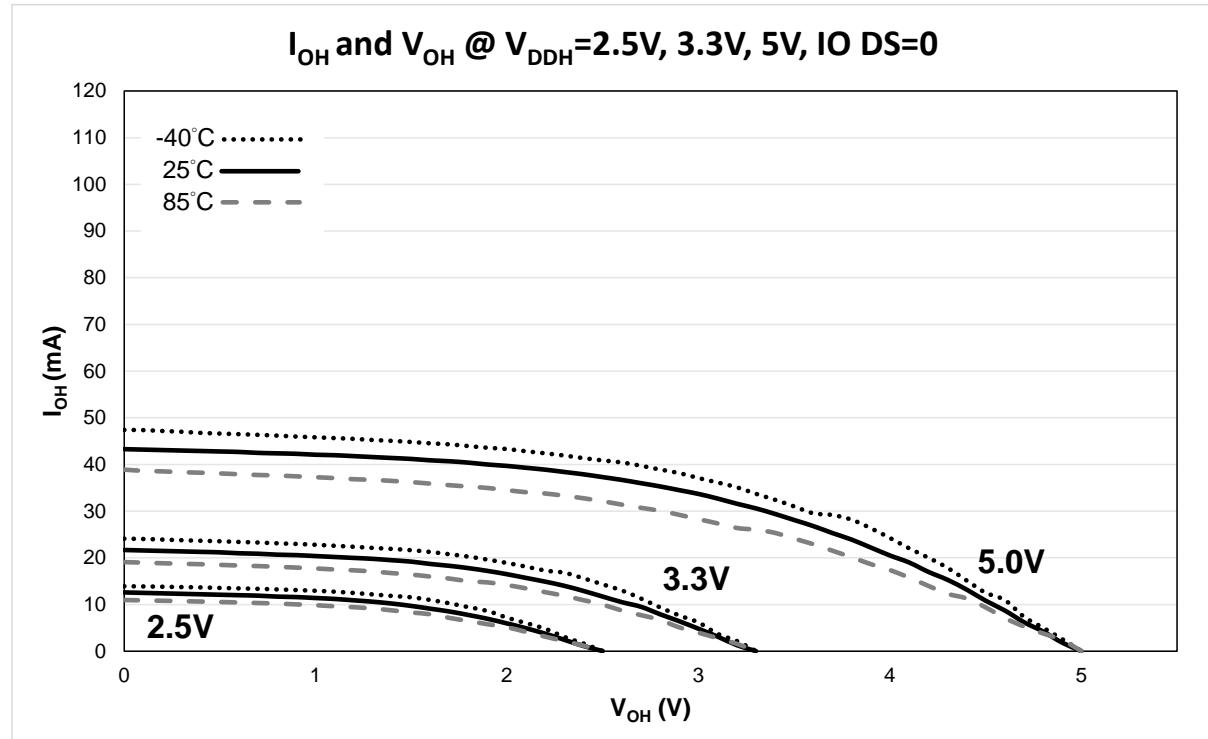


图 5-6  $I_{OH}, V_{OH}$ , @ $V_{DDH}=2.5V, 3.3V, 5V, DS=0$

### 5.3.12.2 I/O输出电流 (驱动模式DS=1)

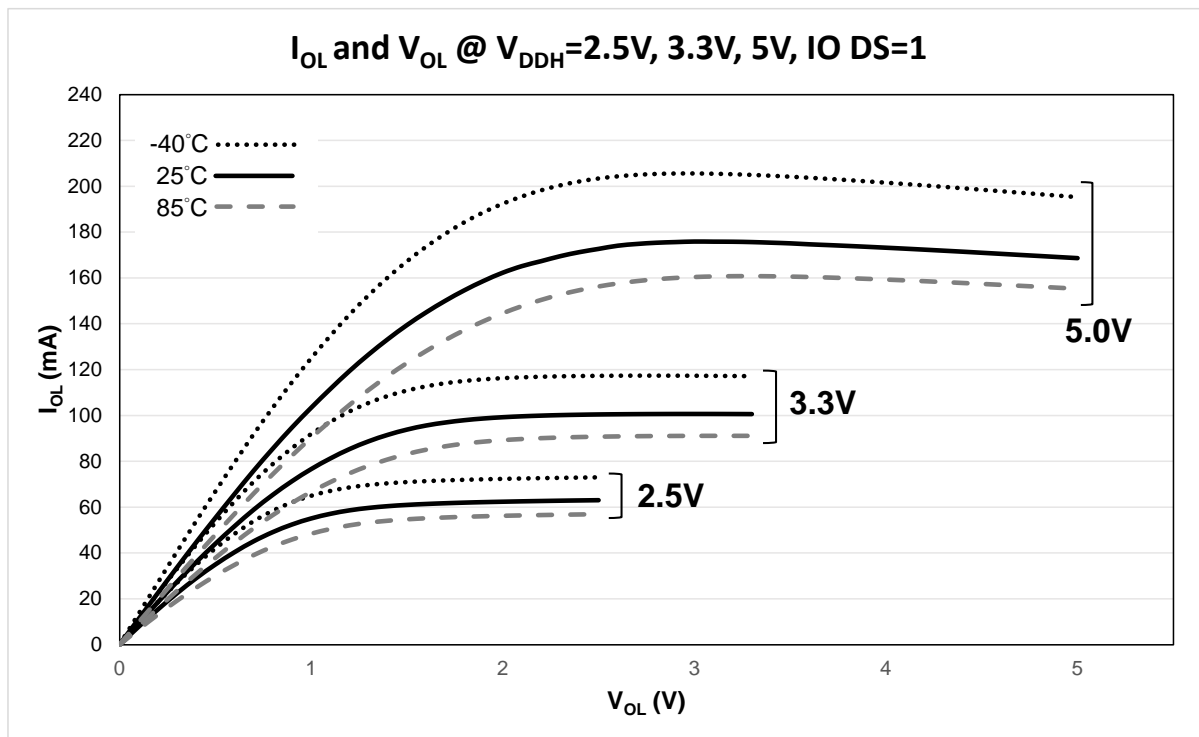


图 5-7  $I_{OL}$ ,  $V_{OL}$ , @ $V_{DDH}=2.5V, 3.3V, 5V$ , DS=1

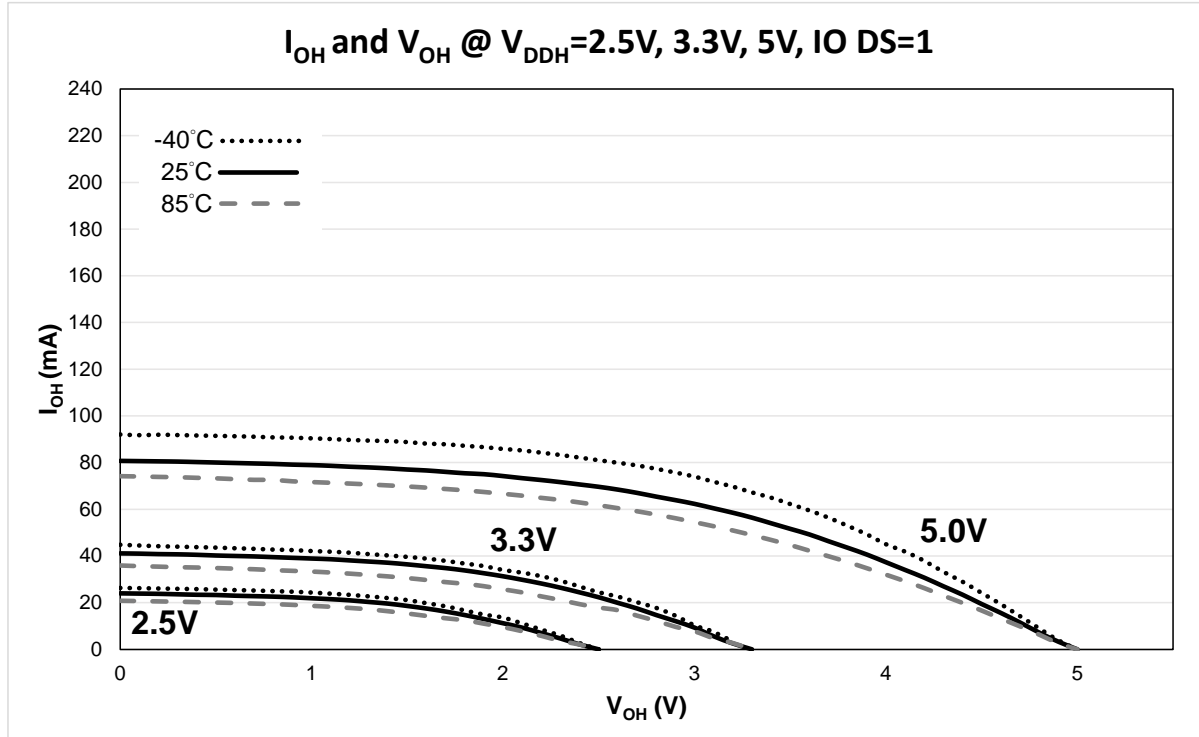


图 5-8  $I_{OH}$ ,  $V_{OH}$ , @ $V_{DDH}=2.5V, 3.3V, 5V$ , DS=1

### 5.3.13 NRST特性参数

| 标号               | 参数             | 条件                 | 最小值             | 典型值  | 最大值             | 单位 |
|------------------|----------------|--------------------|-----------------|------|-----------------|----|
| $V_{IL(NRST)}$   | NRST 输入低电平电压   | -                  | -               | -    | $0.3^* V_{DDH}$ | V  |
| $V_{IH(NRST)}$   | NRST 输入高电平电压   | -                  | $0.7^* V_{DDH}$ | -    | -               | V  |
| $V_{HYST(NRST)}$ | NRST 施密特触发电压迟滞 | -                  | -               | 1.15 | -               | V  |
| $R_{PU}$         | 内部上拉电阻         | $V_{IN} = V_{SSH}$ | -               | 40   | -               | kΩ |
| $t_{FIR(NRST)}$  | NRST 输入滤波脉冲    | -                  | -               | -    | 100             | ns |
| $t_{NRSTPL}$     | 有效复位脉冲持续时间     | 无外接电容              | -               | 32   | -               | μs |

表 5-29 NRST 特性参数

以下为 NRST 参考应用电路：

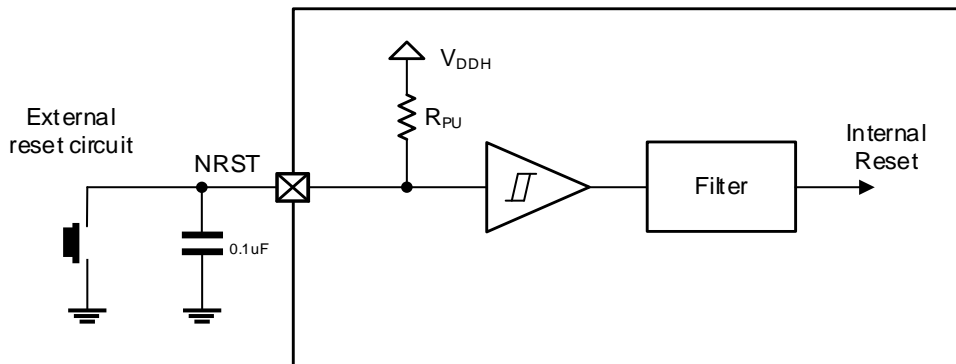


图 5-9 NRST 应用电路

### 5.3.14 定时器特性参数

| 标号               | 参数                              | 条件                                           | 最小值   | 最大值                | 单位             |
|------------------|---------------------------------|----------------------------------------------|-------|--------------------|----------------|
| $t_{res(TIMER)}$ | 定时器分辨率                          | APB1 预分频= 1, $f_{TIMERCLK} = 72 \text{ MHz}$ | 1     | -                  | $t_{TIMERCLK}$ |
|                  |                                 |                                              | 13.8  | -                  | ns             |
| $f_{EXT(TIMER)}$ | 定时器 CH1 至 CH4 外部输入频率            | $f_{TIMERCLK} = 72 \text{ MHz}$              | 0     | $f_{TIMER\_CLK}/2$ | MHz            |
|                  |                                 |                                              | 0     | 36                 | ns             |
| $t_{COUNTER}$    | 16 位计数器周期<br>(关闭预分频器)           | -                                            | 1     | $2^{16}$           | $t_{TIMERCLK}$ |
|                  | $f_{TIMERCLK} = 72 \text{ MHz}$ | -                                            | 910   | μs                 |                |
|                  | 32 位计数器周期<br>(关闭预分频器)           | -                                            | 1     | $2^{32}$           | $t_{TIMERCLK}$ |
|                  | $f_{TIMERCLK} = 72 \text{ MHz}$ | -                                            | 59.65 | s                  |                |

表 5-30 定时器特性参数

### 5.3.15 通信特性参数

#### 5.3.15.1 内部集成电路总线I2C特性参数

| 标号                   | 参数                                    | 标准模式 |      | 快速模式 |     | 单位      |
|----------------------|---------------------------------------|------|------|------|-----|---------|
|                      |                                       | 最小值  | 最大值  | 最小值  | 最大值 |         |
| $t_{WSCLL}$          | SCL 时钟低电平时间                           | 4.7  | -    | 1.3  | -   | $\mu s$ |
| $t_{WSCLH}$          | SCL 时钟高电平时间                           | 4.0  | -    | 0.6  | -   | $\mu s$ |
| $t_{SUSDA}$          | SDA 数据建立时间                            | 250  | -    | 100  | -   | ns      |
| $t_{HSDA}$           | SDA 数据保持时间                            | -    | 3450 | -    | 900 | ns      |
| $t_{RSDA}, t_{RSCL}$ | SDA 和 SCL 信号上升时间                      | -    | 1000 | -    | 300 | ns      |
| $t_{FSDA}, t_{FSCL}$ | SDA 和 SCL 信号下降时间                      | -    | 300  | -    | 300 | ns      |
| $t_{HSTA}$           | (重复)START 条件的保持时间                     | 4.0  | -    | 0.6  | -   | $\mu s$ |
| $t_{SUSTA}$          | 重复 START 条件的建立时间                      | 4.7  | -    | 0.6  | -   | $\mu s$ |
| $t_{SUSTO}$          | STOP 条件的建立时间                          | 4.0  | -    | 0.6  | -   | $\mu s$ |
| $t_{WSTOSTA}$        | STOP 至 START 条件之间的总线空闲时间              | 4.7  | -    | 1.3  | -   | $\mu s$ |
| $C_{BUS}$            | 总线电容负载<br>(注意: SCL 和 SDA 电容负载应尽量保持一致) | -    | 400  | -    | 400 | pF      |

表 5-31 内部集成电路总线 I2C 特性参数

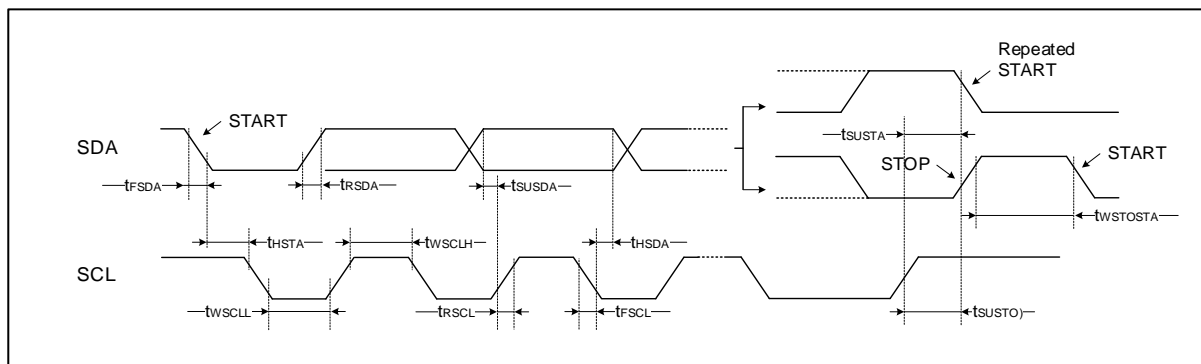


图 5-10 I2C 时序图

### 5.3.15.2 串行外设接口SPI特性参数

| 标号                         | 参数            | 条件                           | 最小值            | 最大值            | 单位  |
|----------------------------|---------------|------------------------------|----------------|----------------|-----|
| $f_{SCK}$                  | SPI 时钟频率      | 主模式, $f_{PCLK}=48MHz$        | -              | 24             | MHz |
|                            |               | 从模式, $f_{PCLK}=48MHz$        | -              | 24             | MHz |
| $t_{RSCK}$<br>$t_{FSCK}$   | SPI 时钟上升和下降时间 | 电容负载 30pF                    | -              | 8              | ns  |
| $DUTY_{SCK}$               | SPI 输入时钟占空比   | 从模式                          | 30             | 70             | %   |
| $t_{SU NSS}$               | NSS 建立时间      | 从模式                          | 10             | -              | ns  |
| $t_{HN NSS}$               | NSS 保持时间      | 从模式                          | 10             | -              | ns  |
| $t_{WSCKH}$<br>$t_{WSCKL}$ | SCK 高电平和低电平时间 | 主模式, $f_{PCLK}=24MHz$ , 4 分频 | $t_{PCLK}/2-2$ | $t_{PCLK}/2+1$ | ns  |
| $t_{SUMI}$                 | 输入数据建立时间      | 主模式                          | 10             | -              | ns  |
| $t_{SUSI}$                 | 输入数据建立时间      | 从模式                          | 5              | -              | ns  |
| $t_{HMI}$                  | 输入数据保持时间      | 主模式                          | 5              | -              | ns  |
| $t_{HSI}$                  | 输入数据保持时间      | 从模式                          | 5              | -              | ns  |
| $t_{ASO}$                  | 输出数据访问时间      | 从模式                          | 0              | $3t_{PCLK}$    | ns  |
| $t_{DISSO}$                | 输出数据禁止时间      | 从模式                          | 2              | 10             | ns  |
| $t_{VSO}$                  | 输出数据有效时间      | 从模式                          | -              | 5              | ns  |
| $t_{VMO}$                  | 输出数据有效时间      | 主模式                          | -              | 5              | ns  |
| $t_{HSO}$                  | 输出数据保持时间      | 从模式                          | 5              | -              | ns  |
| $t_{HMO}$                  | 输出数据保持时间      | 主模式                          | 5              | -              | ns  |

表 5-32 串行外设接口 SPI 特性参数

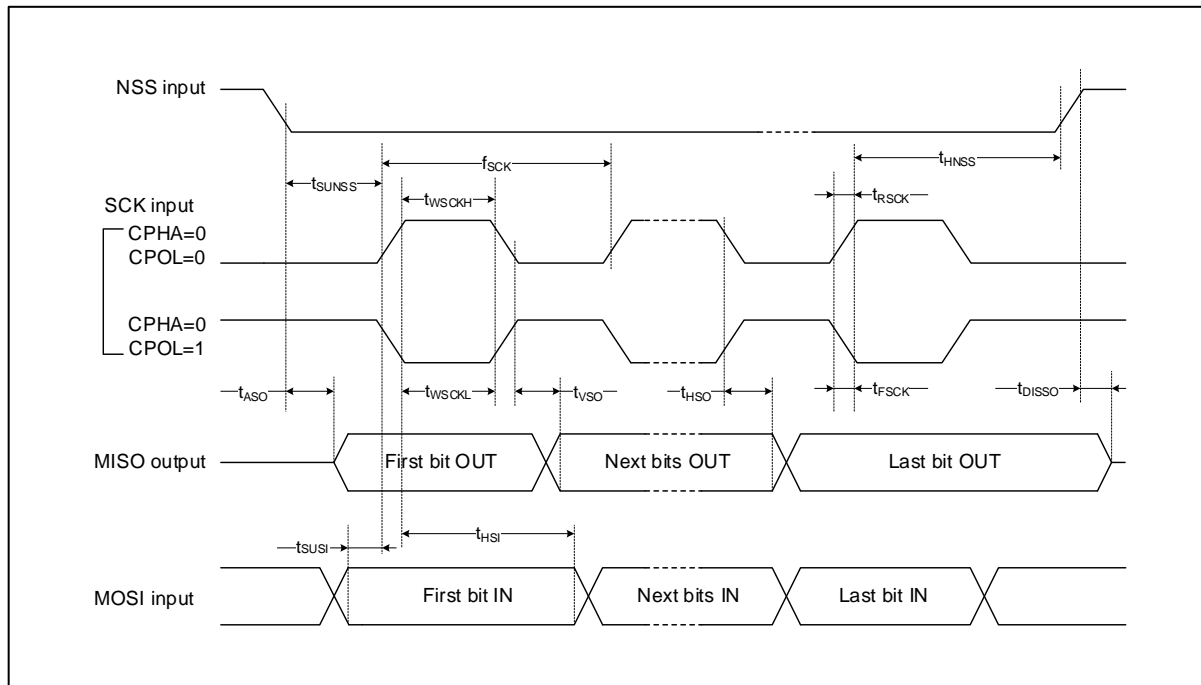


图 5-11 SPI 时序图-从模式和 CPHA = 0

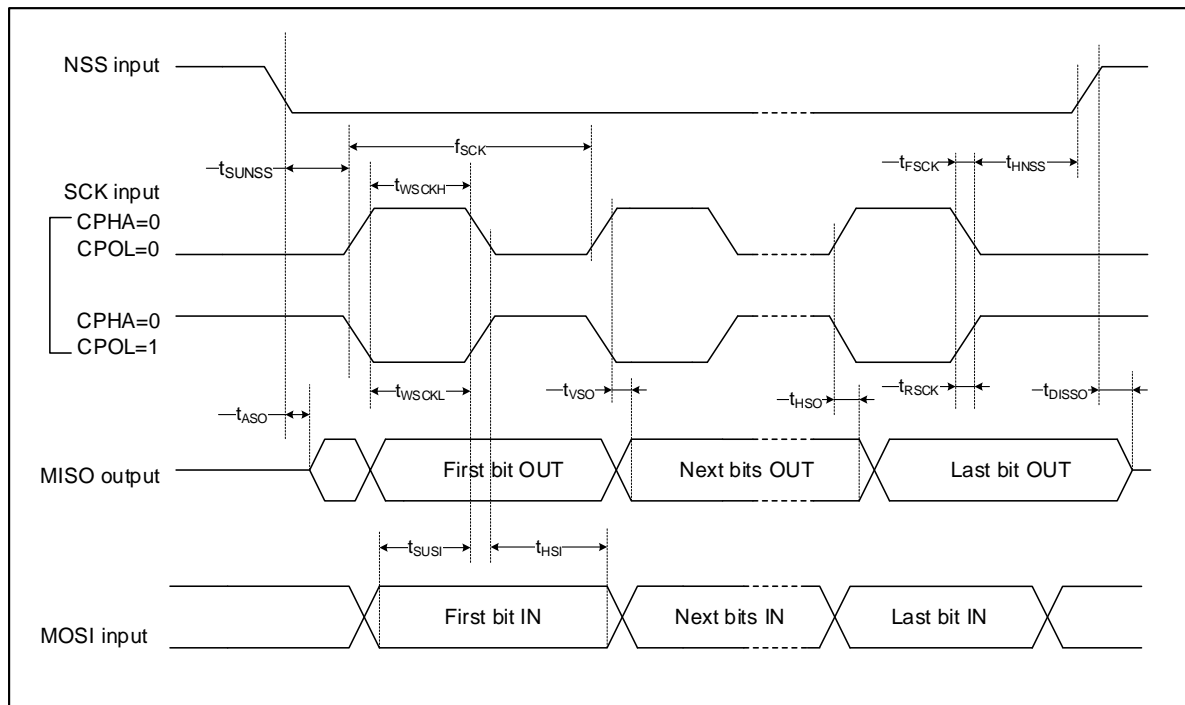


图 5-12 SPI 时序图-从模式和 CPHA = 1

### 5.3.15.3 USB FS全速特性参数

| 标号                  | 参数                           | 条件                                         | 最小值 | 典型值 | 最大值 | 单位               |
|---------------------|------------------------------|--------------------------------------------|-----|-----|-----|------------------|
| $V_{DDUSB}^{(1,2)}$ | USB FS 工作电压,<br>VDDUSB 引脚    | $V_{DDH}=5V$ , LDOUSB 开启                   | 3.0 | -   | 3.6 | V                |
| $I_{VDDUSB}$        | 内部 USB 稳压器(LDOUSB)<br>最大电源电流 | $V_{DDH}=5V$ , LDOUSB 开启                   | -   | 50  | -   | mA               |
| $t_{START}^{(3)}$   | USB FS 收发器启动时间               | $V_{DDH}=5V$ , LDOUSB 稳定                   | -   | -   | 400 | $\mu s$          |
| $V_{DI}$            | 差分输入灵敏度                      | $V_{DI} =  V_{USB\_DP} - V_{USB\_DM} $     | 0.2 | -   | -   | V                |
| $V_{CM}$            | 差分共模电压范围                     | 包括 $V_{DI}$ 范围                             | 0.8 | -   | 2.5 |                  |
| $V_{SE}$            | 单端接收器阈值                      | -                                          | 1.3 | -   | 2.0 |                  |
| $V_{OL}$            | 静态输出低电平                      | $R_L = 1.5 \text{ k}\Omega$ , 接至 3.6V      | -   | -   | 0.3 | V                |
| $V_{OH}$            | 静态输出高电平                      | $R_L = 1.5 \text{ k}\Omega$ , 接至 $V_{SSH}$ | 2.8 | -   | 3.6 |                  |
| $R_{PU}$            | 内部上拉电阻(PA11,PA12)            | $V_{IN} = V_{SSH}$                         | -   | 1.5 | -   | $\text{k}\Omega$ |
| $R_{PD}$            | 内部下拉电阻(PA11,PA12)            | $V_{IN} = V_{DDUSB}$                       | -   | 15  | -   | $\text{k}\Omega$ |
| $t_R$               | 上升时间                         | $C_L = 50 \text{ pF}$                      | 4   | -   | 20  | ns               |
| $t_F$               | 下降时间                         | $C_L = 50 \text{ pF}$                      | 4   | -   | 20  | ns               |
| $t_{RFM}$           | 上升和下降时间匹配                    | $t_R / t_F$                                | 90  | -   | 110 | %                |
| $V_{CRS}$           | 输出信号交叉电压                     | -                                          | 1.3 | -   | 2.0 | V                |

表 5-33 USB FS 全速特性参数

注:

1. VDDUSB 引脚电源, 可选择开启 LDOUSB 稳压器( $V_{DDH}=5V$ )。
2. VDDUSB 引脚电源, 可选择芯片主电源  $VDDH(3.3V \leq V_{DDH} \leq 3.6V)$  提供, 此时必须关闭 LDOUSB 稳压器(默认值)。
3. VDDUSB 引脚连接 100nF 电容, 并开启 USB Host 模式。

### 5.3.16 模数转换器ADC特性参数

| 标号          | 参数                | 条件                                      | 最小值                                      | 典型值  | 最大值           | 单位          |
|-------------|-------------------|-----------------------------------------|------------------------------------------|------|---------------|-------------|
| $V_{DDA}$   | 工作电压范围            | -                                       | 2.4                                      | -    | 5.5           | V           |
| $V_{REFP}$  | ADC 参考电压          | $V_{DDA} = V_{REFP}$                    | 2.4                                      | -    | 5.5           | V           |
| $I_{ADC}$   | ADC 消耗电流          | $V_{DDA}=5V$                            | -                                        | 1.5  | -             | mA          |
| $f_{ADC}$   | ADC 时钟频率          | -                                       | 0.6                                      | -    | 12            | MHz         |
| $f_s$       | 采样率               | 12 位分辨率                                 | -                                        | -    | 0.8571        | MHz         |
|             |                   | 10 位分辨率                                 | -                                        | -    | 1             |             |
|             |                   | 8 位分辨率                                  | -                                        | -    | 1.2           |             |
|             |                   | 6 位分辨率                                  | -                                        | -    | 1.5           |             |
| $f_{TRIG}$  | 外部触发频率            | $f_{ADC} = 12 \text{ MHz}$              | -                                        | -    | 823           | kHz         |
|             |                   | -                                       | -                                        | -    | 17            | $1/f_{ADC}$ |
| $V_{AIN}$   | 转换电压范围            | -                                       | 37                                       | -    | $V_{REFP}-50$ | mV          |
| $R_{AIN}$   | 外部输入阻抗            | -                                       | -                                        | -    | 277.67        | kΩ          |
| $R_{ADC}$   | 采样开关电阻            | -                                       | -                                        | 1.18 | -             | kΩ          |
| $C_{ADC}$   | 内部采样保持电容          | -                                       | -                                        | 8.5  | -             | pF          |
| $t_{CAL}$   | 校准时间              | $f_{ADC} = 12\text{MHz}$                | -                                        | 3.42 | -             | μs          |
| $t_s$       | 采样时间              | $f_{ADC} = 12\text{MHz}$                | 0.125                                    | -    | 21.375        | μs          |
|             |                   | -                                       | 1.5                                      | -    | 256.5         | $1/f_{ADC}$ |
| $t_{START}$ | 稳定时间              | $f_{ADC} = 12\text{MHz}$                | -                                        | 1.75 | -             | μs          |
| $t_{CONV}$  | 总转换时间<br>(包括采样时间) | $f_{ADC} = 12 \text{ MHz}$ ,<br>12 位分辨率 | 1.1667                                   | -    | 22.417        | μs          |
|             |                   | 12 位分辨率                                 | 14 至 269 (采样 $t_s + 12.5$ 逐次逼近 12.5 个周期) |      |               | $1/f_{ADC}$ |
| $ERR_{DNL}$ | 差分线性误差            | $f_{ADC}=12\text{MHz}$                  | -                                        | ±3   | -             | LSB         |
| $ERR_{INL}$ | 积分线性误差            | $f_{ADC}=12\text{MHz}$                  | -                                        | ±10  | -             | LSB         |

表 5-34 模数转换器 ADC 特性参数

◆ 外部输入阻抗  $R_{AIN}$  公式

$$R_{AIN} = \frac{T_s}{f_{ADC} \times C_{ADC} \times \ln(2^{N+1})} - R_{ADC}$$

| Ts (周期数) | 采样时间 t <sub>s</sub> (μs) | 最大值 R <sub>AIN</sub> (kΩ) |
|----------|--------------------------|---------------------------|
| 1.5      | 0.125                    | 0.45                      |
| 7.5      | 0.625                    | 6.97                      |
| 13.5     | 1.125                    | 13.50                     |
| 28.5     | 2.375                    | 29.80                     |
| 41.5     | 3.458                    | 43.94                     |
| 55.5     | 4.625                    | 59.16                     |
| 71.5     | 5.958                    | 76.55                     |
| 239.5    | 19.958                   | 259.19                    |
| 256.5    | 21.375                   | 277.67                    |

表 5-35 f<sub>ADC</sub> = 12 MHz, R<sub>AIN</sub> 最大值

### 5.3.17 模拟比较器CMP特性参数

| 标号                                 | 参数     | 条件                                 | 最小值              | 典型值 | 最大值              | 单位 |
|------------------------------------|--------|------------------------------------|------------------|-----|------------------|----|
| V <sub>DDA</sub>                   | 工作电压范围 | -                                  | V <sub>DDH</sub> | -   | 5.5              | V  |
| V <sub>IN</sub>                    | 输入电压范围 | -                                  | 0                | -   | V <sub>DDH</sub> | V  |
| t <sub>START</sub>                 | 启动时间   | -                                  | -                | 430 | -                | ns |
| V <sub>OFFSET</sub> <sup>(1)</sup> | 偏移误差   | -                                  | -                | ±2  | ±5               | mV |
| t <sub>D</sub>                     | 传输延迟   | -                                  | -                | 1.7 | 2.4              | μs |
| I <sub>CMP</sub>                   | 消耗电流   | -                                  | -                | 9   | -                | μA |
| V <sub>HYST</sub>                  | 比较器迟滞  | V <sub>DDA</sub> =5V, INP=INN=2.5V | -                | 41  | -                | mV |

表 5-36 模拟比较器 CMP 特性参数

注

- 用户必须开启 EXTI 输入去抖动寄存器中的 CMP 位配置为 1，并将 EXTI 输入去抖动取样率控制寄存器中的 DBCNT 位配置为 0x7。

### 5.3.18 温度传感器特性参数

| 标号                    | 参数                      | 条件 | 最小值   | 典型值  | 最大值  | 单位    |
|-----------------------|-------------------------|----|-------|------|------|-------|
| T <sub>L</sub>        | V <sub>TS</sub> 与温度的线性度 | -  | -     | ±1   | ±2   | °C    |
| Avg_Slope             | 温度平均斜率                  | -  | -     | 3.75 | -    | mV/°C |
| V <sub>30</sub>       | 30°C 时输出电压值(±5°C)       | -  | 0.99  | 1.06 | 1.11 | V     |
| t <sub>START</sub>    | 启动时间                    | -  | -     | -    | 50   | μs    |
| t <sub>S_TSENSE</sub> | 读取温度时 ADC 采样时间          | -  | 4.375 | -    | -    | μs    |
| I <sub>TSENSE</sub>   | 消耗电流                    | -  | -     | 60   | -    | μA    |

表 5-37 温度传感器特性参数

### 5.3.19 内部电压源特性参数

| 标号                 | 参数              | 条件                                                            | 最小值  | 典型值          | 最大值  | 单位           |
|--------------------|-----------------|---------------------------------------------------------------|------|--------------|------|--------------|
| $V_{REFINT}^{(1)}$ | 内部参考电压(BandGap) | $T_A=-40 \text{ to } +85^\circ\text{C}$ , $V_{DDA}=5\text{V}$ | 1.20 | 1.22         | 1.24 | V            |
| $V_{RESSRC}^{(2)}$ | 内部电阻分压电压源       | RESEN=1, RESSRC=0                                             | -    | $V_{REFINT}$ | -    | V            |
|                    |                 | RESEN=1, RESSRC=1                                             | -    | $V_{DDA}$    | -    | V            |
| $V_{RES}^{(3)}$    | 内部电阻分压          | VRESSEL=000,<br>ADIN18/CMPx_INN                               | -    | 1/4          | -    | $V_{RESSRC}$ |
|                    |                 | VRESSEL=001,<br>ADIN18/CMPx_INN                               | -    | 1/2          | -    |              |
|                    |                 | VRESSEL=010,<br>ADIN18/CMPx_INN                               | -    | 3/4          | -    |              |
|                    |                 | VRESSEL=011,<br>ADIN18/CMPx_INN                               | -    | 1            | -    |              |
|                    |                 | VRESSEL=100, ADIN18                                           | -    | 1/16         | -    |              |
|                    |                 | VRESSEL=101, ADIN18                                           | -    | 15/16        | -    |              |

表 5-38 内部电压源特性参数

注：

- $V_{REFINT}$  内部参考电压，直接连接到 ADIN17 通道，提供 ADC 当作内部参考电源；搭配 SYSCFG\_ADCVREF 配置字，可推算 VDDA 实际电压，详情可参考应用手册。
- $V_{RESSRC}$  内部电阻分压电压源，可选择  $V_{REFINT}$  内部参考电压或  $V_{DDA}$ ，由 SYSCFG\_PWR.RESSRC 寄存器配置选择。
- $V_{RES}$  内部电阻分压，提供独立的 6 种分压电阻，分别提供给 ADIN18、CMP1\_INN 与 CMP2\_INN，可个别选择需要的分压电源，每区段电压误差  $\pm 0.8\%$ 。

## 第6章 封装信息

### 6.1 LQFP48 (7x7mm) 封装尺寸图

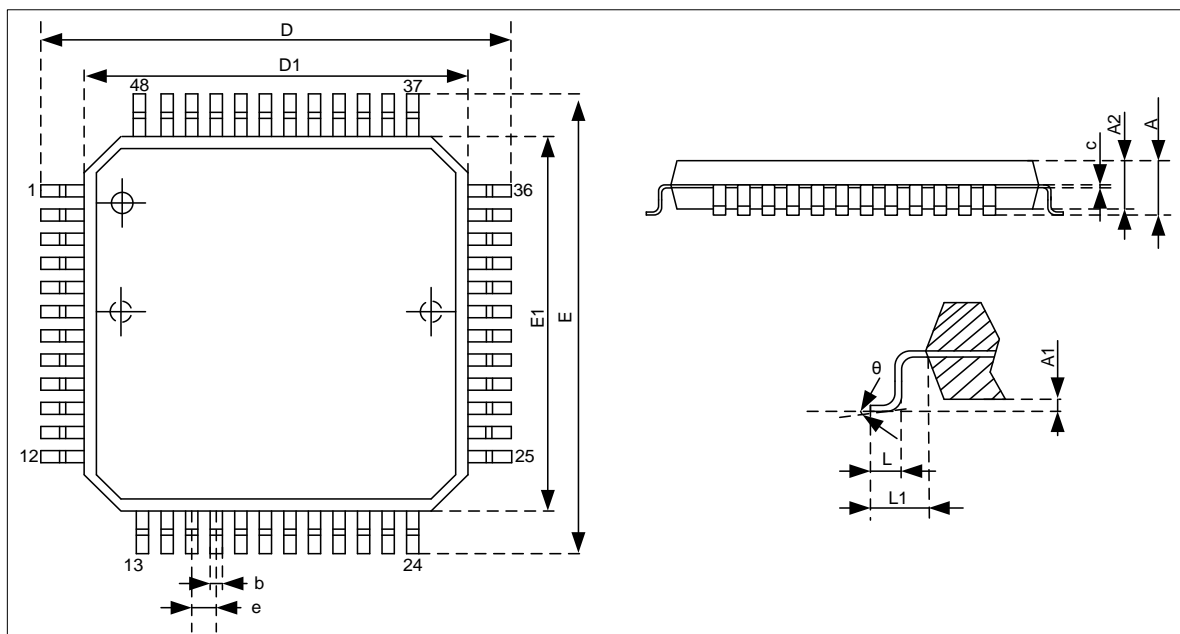


图 6-1 LQFP48(7x7mm)封装尺寸图

| 标号 | 公制(mm)  |      |      |
|----|---------|------|------|
|    | MIN     | NOM  | MAX  |
| A  | —       | —    | 1.60 |
| A1 | 0.05    | —    | 0.15 |
| A2 | 1.35    | 1.40 | 1.45 |
| c  | 0.09    | —    | 0.20 |
| D  | 8.80    | 9.00 | 9.20 |
| D1 | 6.90    | 7.00 | 7.10 |
| E  | 8.80    | 9.00 | 9.20 |
| E1 | 6.90    | 7.00 | 7.10 |
| b  | 0.17    | 0.22 | 0.27 |
| e  | 0.50BSC |      |      |
| L  | 0.45    | 0.60 | 0.75 |
| L1 | 1.00REF |      |      |
| θ  | 0°      | —    | 7°   |

## 6.2 LQFP64 (7x7mm) 封装尺寸图

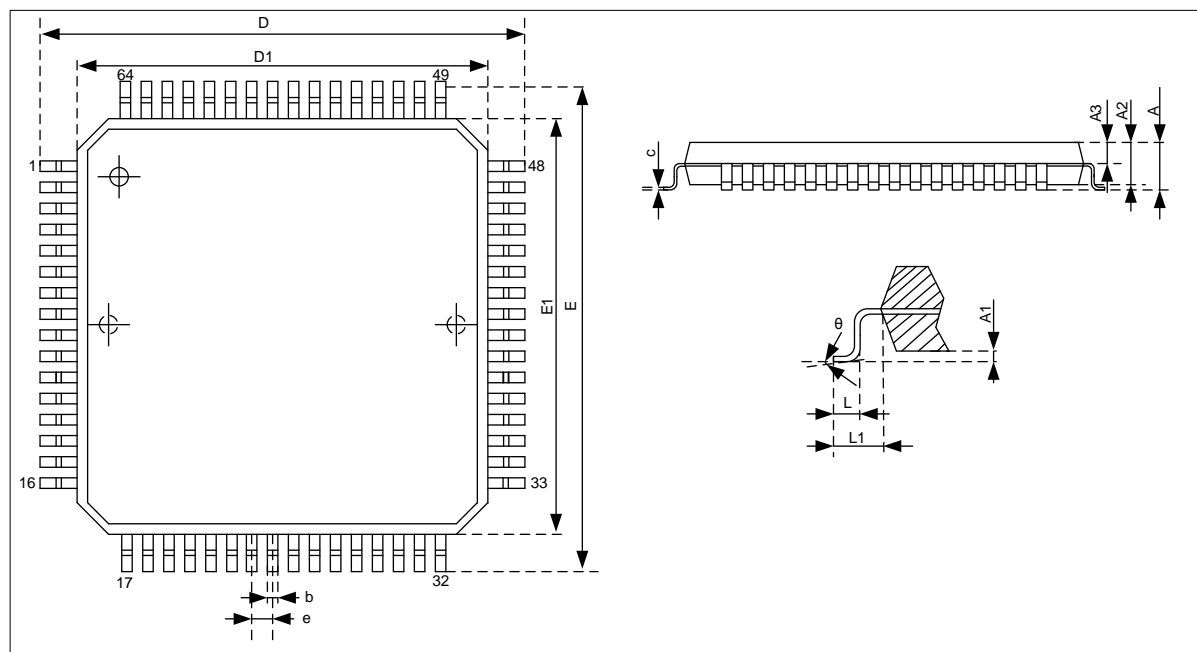


图 6-2 LQFP64(7x7mm)封装尺寸图

| 标号 | 公制(mm)  |      |      |
|----|---------|------|------|
|    | MIN     | NOM  | MAX  |
| A  | —       | —    | 1.60 |
| A1 | 0.05    | —    | 0.25 |
| A2 | 1.35    | 1.40 | 1.45 |
| A3 | 0.59    | 0.64 | 0.69 |
| b  | 0.16    | —    | 0.25 |
| c  | 0.13    | —    | 0.18 |
| D  | 8.80    | 9.00 | 9.20 |
| D1 | 6.90    | 7.00 | 7.10 |
| E  | 8.80    | 9.00 | 9.20 |
| E1 | 6.90    | 7.00 | 7.10 |
| e  | 0.40BSC |      |      |
| L  | 0.40    | —    | 0.75 |
| L1 | 1.00REF |      |      |
| θ  | 0       | —    | 7°   |

### 6.3 LQFP64 (10x10mm) 封装尺寸图

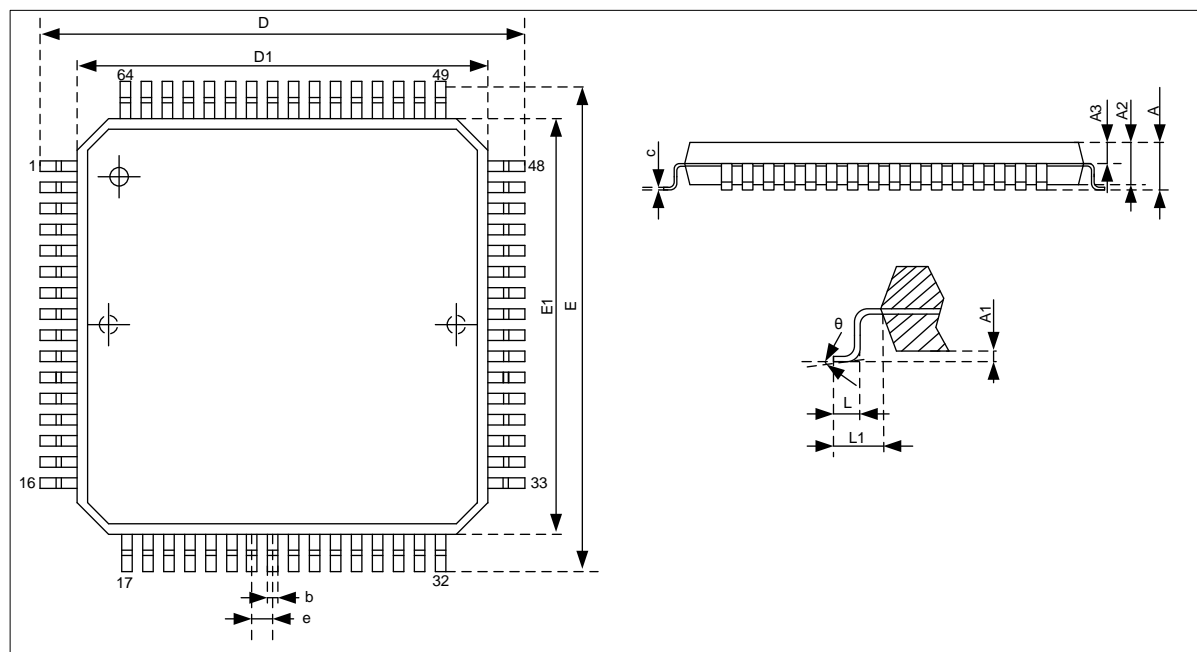


图 6-3 LQFP64(10x10mm)封装尺寸图

| 标号 | 公制(mm)  |       |       |
|----|---------|-------|-------|
|    | MIN     | NOM   | MAX   |
| A  | —       | —     | 1.60  |
| A1 | 0.05    | —     | 0.15  |
| A2 | 1.35    | 1.40  | 1.45  |
| A3 | 0.59    | 0.64  | 0.69  |
| b  | 0.18    | —     | 0.26  |
| c  | 0.13    | —     | 0.17  |
| D  | 11.80   | 12.00 | 12.20 |
| D1 | 9.90    | 10.00 | 10.10 |
| E  | 11.80   | 12.00 | 12.20 |
| E1 | 9.90    | 10.00 | 10.10 |
| e  | 0.50BSC |       |       |
| L  | 0.40    | —     | 0.75  |
| L1 | 1.00REF |       |       |
| θ  | 0       | —     | 7°    |

## 6.4 QFN48 (5x5mm) 封装尺寸图

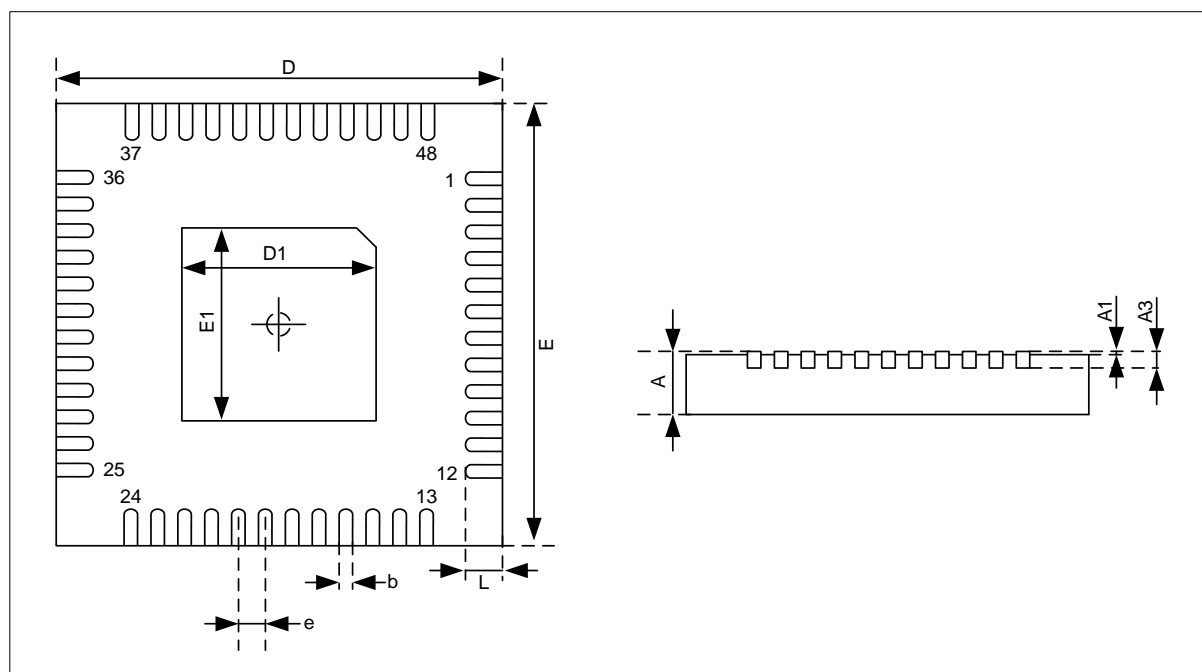


图 6-4 QFN 48(5x5mm)封装尺寸图

| 标号 | 公制 (mm)   |      |      |
|----|-----------|------|------|
|    | MIN       | NOM  | MAX  |
| A  | 0.70      | 0.75 | 0.80 |
| A1 | 0.00      | 0.02 | 0.05 |
| A3 | 0.203 REF |      |      |
| D  | 5.00 BSC  |      |      |
| D1 | 3.60      | 3.70 | 3.80 |
| E  | 5.00 BSC  |      |      |
| E1 | 3.60      | 3.70 | 3.80 |
| b  | 0.13      | 0.18 | 0.23 |
| e  | 0.35 BSC  |      |      |
| L  | 0.25      | 0.35 | 0.45 |

## 修订历史

| 版本   | 修改日期       | 更改概要                                                         |
|------|------------|--------------------------------------------------------------|
| V1.0 | 2022-12-02 | 初版                                                           |
| V1.1 | 2023-04-17 | 移除 5.3.16 章节备注                                               |
|      | 2023-05-05 | 勘误 Bootloader 为 Bootrom                                      |
|      | 2023-05-23 | 1. 更新 ADC 电气特性 $V_{AIN}$ 转换电压范围数值<br>2. 修改用字, 将「调适」改为「调试」    |
| V1.2 | 2023-06-30 | 更新电器特性章节<br>- 修改 HRC 精准度数据<br>- 增加 $V_{REFINT}$ 最大最小电压数据     |
|      | 2023-07-04 | 修正串行外设接口 SPI 特性参数                                            |
| V1.3 | 2024-07-16 | 修订“表 2-1 设备功能和外围设备数量”中关于 SPI 的描述                             |
| V1.4 | 2024-11-08 | 1. 增加芯片型号 FS026C7N<br>2. 完善部分描述格式<br>3. 更新引脚图, 添加引脚的模拟复用功能标识 |